

ผลของอุณหภูมิเท และอัตราการเทต่อดัชนีการไหลของอะลูมิเนียมผสม
เอซี 2 เอ โดยใช้โปรแกรมช่วยในการจำลอง

EFFECTS OF POURING TEMPERATURE AND POURING RATE ON FLUIDITY
INDEX OF AC2A ALUMINUM ALLOYS USING CASTING SIMULATION
PROGRAM

นางสาวบรรเจิดลักษณ์ แย้มนิยม รหัส 56364496
นางสาวปาริฉัตร ป้อมไย รหัส 56364540

สำนักหอสมุด มหาวิทยาลัยธรรมศาสตร์
วันที่ส่งหนังสือ..... ๐๒ ก.ค. ๒๕๖๑
เลขประจำตัว..... ๑๗๗๑๖๓๑
สาขา..... ๙๕
เวลาเรียกหนังสือ..... ๘๑๕๓๔
ผู้รับ..... ๕๖๕๙

ปริญญาในพนธน์เป็นส่วนหนึ่งของการศึกษาหลักสูตรปริญญาวิศวกรรมศาสตรบัณฑิต
สาขาวิชาวิศวกรรมวัสดุ ภาควิชาวิศวกรรมอุตสาหการ
คณะวิศวกรรมศาสตร์ มหาวิทยาลัยนเรศวร
ปีการศึกษา 2559



ใบรับรองปริญญาบัตร

ชื่อหัวข้อโครงการ	ผลของอุณหภูมิเท และอัตราการเหตุต่อดัชนีการไหลของอัลูมิเนียมผสม เอชี 2 โดยใช้โปรแกรมช่วยในการจำลอง
ผู้ดำเนินโครงการ	นางสาวบรรเจิดลักษณ์ யัยมนิยม รหัส 56364496
ที่ปรึกษาโครงการ	อาจารย์กฤษณา พูลสวัสดิ์
สาขาวิชา	วิศวกรรมวัสดุ
ภาควิชา	วิศวกรรมอุตสาหกรรม
ปีการศึกษา	2559

คณะวิศวกรรมศาสตร์ มหาวิทยาลัยแม่ฟ้าหลวง อนุมัติให้ปริญญาบัตรนี้เป็นส่วนหนึ่งของการศึกษาตามหลักสูตรวิศวกรรมศาสตรบัณฑิต สาขาวิชาวิศวกรรมวัสดุ

.....ที่ปรึกษาโครงการ
(อาจารย์กฤษณา พูลสวัสดิ์)

.....กรรมการ
(ดร.ชลีพร ป่าเร)

.....กรรมการ
(ดร.ปิยันันท์ บุญพิริคุณ)

ชื่อหัวข้อโครงการ	ผลของอุณหภูมิเท และอัตราการเหตุต่อต้นนีกการไฟลของอุณหภูมิเนี่ยมผสม เอชี 2 เอ โดยใช้โปรแกรมช่วยในการจำลอง	
ผู้ดำเนินโครงการ	นางสาวบรรเจิดลักษณ์ แย้มนิยม รหัส 56364496	
ที่ปรึกษาโครงการ	อาจารย์กฤษณา พูลสวัสดิ์	ป้อมไย รหัส 56364540
สาขาวิชา	วิศวกรรมวัสดุ	
ภาควิชา	วิศวกรรมอุตสาหการ	
ปีการศึกษา	2559	

บทคัดย่อ

โครงการนี้เป็นการศึกษาผลของอุณหภูมิเท และอัตราการเหตุต่อต้นนีกการไฟลโดยใช้โปรแกรมช่วยในการจำลองกับการหล่อจริง โดยผลกระทบจากการหล่อจริงที่อุณหภูมิเท 680 และ 720 องศาเซลเซียส อัตราการเหระดับที่ 1 และระดับที่ 2 พบร้าดั้นนีกการไฟลเพิ่มขึ้นเมื่ออุณหภูมิเท และอัตราการเหระเพิ่มขึ้น และผลกระทบจากการหล่อจริงที่อุณหภูมิเท 680 และ 720 องศาเซลเซียส อัตราการเหระดับที่ 1 และระดับที่ 2 พบร้าไม่สามารถเห็นดั้นนีกการไฟล เนื่องจากโลหะหลอมเหลวไฟลเต็มแม่พิมพ์ ดังนั้นทางคณะผู้จัดทำจึงได้ทำการทดลองเพิ่ม โดยเปลี่ยนอุณหภูมิเทเป็น 560 และ 600 องศาเซลเซียส เพื่อศึกษาว่าอุณหภูมิเหมือนผลต่อต้นนีกการไฟล โดยยังคงใช้อัตราการเหระดับที่ 1 และระดับที่ 2 เท่านเดิม จากการทดลองพบว่า เมื่ออุณหภูมิเท และอัตราการเหเพิ่มขึ้น ส่งผลให้ต้นนีกการไฟลเพิ่มขึ้น ซึ่งผลกระทบจากการหล่อจริงกับผลการทดลองโดยใช้โปรแกรมช่วยในการจำลอง ทำให้ทราบได้ว่าทั้งอุณหภูมิเท และอัตราการเห มีผลต่อต้นนีกการไฟลของอุณหภูมิเนี่ยมผสม เอชี 2 เอ

Project title	EFFECTS OF POURING TEMPERATURE AND POURING RATE ON FLUIDITY INDEX OF AC2A ALUMINUM ALLOYS USING CASTING SIMULATION PROGRAM		
Name	Ms. Bunjertlark Yeamniyom	ID 56364496	
	Ms. Parichat Pomyai	ID 56364540	
Project advisor	Ms. Krisana Poolsawat		
Major	Materials Engineering		
Department	Industrial Engineering		
Academic year	2016		

Abstract

This project studied the effects of pouring temperature and rate on fluidity index of AC2A aluminum alloys. Experimental results of gravity die casting and simulation results were analyzed and discussed. Pouring temperatures of 680 and 720 degrees Celsius and rate at 1st and 2nd level was used. The results showed that pouring temperature and rate affected the fluidity index of samples from the real casting. Furthermore, higher pouring temperature and rate gave higher fluidity index. In simulation study, fluidity index could not be compared because mold was filled by molten metal, so pouring temperature was change to 560 and 650 degrees Celsius. In conclusion, pouring temperature and rate directly affected the fluidity index in real cast and simulation.

กิจกรรมประจำ

ปริญญาพนธบัปนี้สำเร็จลุล่วงได้เป็นอย่างดี ด้วยความอนุเคราะห์จากหลายท่าน คณบ
ผู้จัดทำจึงคร่ำข้อแสดงความขอบพระคุณบุคคลผู้มีพระคุณ โดยย่างยื่งอาจารย์กฤษณา พูลสวัสดิ์
อาจารย์ที่ปรึกษาโครงงานที่ให้คำปรึกษา และข้อชี้แนะ ตลอดจนดูแลติดตามโครงงานมาโดยตลอด

ขอขอบคุณดร.ชุลีพรย์ ป่าໄเร และดร.ปิยนันท์ บุญพยักช์ ที่กรุณาสละเวลาอันมีค่ามาเป็น
อาจารย์สอบโครงงาน พร้อมทั้งให้คำแนะนำที่เป็นประโยชน์ และข้อเสนอแนะในการปรับปรุงแก้ไข
โครงงานนี้

ขอขอบคุณครุช่าง ประเทือง โนราราย และครุช่างรณกฤต แสงฟ่องที่เอื้อเพื่อสถานที่
อุปกรณ์ และคำแนะนำในการใช้เครื่องมือต่างๆ และขอขอบคุณสาขาวิชากรรมวัสดุ คณบ
วิศวกรรมศาสตร์ มหาวิทยาลัยเกรียง ที่ให้ความรู้ ประสบการณ์ และค่อยอบรมสั่งสอนให้เป็นคนดี
ของสังคม

ขอขอบคุณคุณภาควิชาบริการเครื่องกล คณะวิศวกรรมศาสตร์ มหาวิทยาลัยเกรียง ที่ให้
ความอนุเคราะห์ใช้ห้องคอมพิวเตอร์

ขอขอบคุณบิดา มารดา และครอบครัวที่คอยสนับสนุนค่าใช้จ่ายสามารถดำเนินโครงงานนี้จน
สำเร็จลุล่วงไปได้ด้วยดี

ขอขอบคุณเพื่อนๆ ทุกคนที่คอยให้คำปรึกษา และค่อยเป็นกำลังใจเสมอมา

สุดท้ายนี้ขอกราบขอบพระคุณทุกท่านที่ได้กล่าวมาข้างต้นที่ให้การดูแลตลอดการดำเนินงาน
โครงการผลของอุณหภูมิเท และอัตราการเตต่อดัชนีการไหลของอะลูมิเนียมผสม เอชี 2 เอ โดยใช้
โปรแกรมช่วยในการจำลอง จนสำเร็จการศึกษา

คณบผู้ดำเนินโครงงานวิศวกรรม

นางสาวบรรเจิดลักษณ์ แย้มนิยม

นางสาวparichat ป้อมไย

พฤษภาคม 2560

สารบัญ

	หน้า
ใบรับรองโครงการวิจัย.....	ก
บทคัดย่อภาษาไทย.....	ข
บทคัดย่อภาษาอังกฤษ.....	ค
กิตติกรรมประกาศ.....	ง
สารบัญ.....	จ
สารบัญตาราง.....	ฉ
สารบัญรูป.....	ญ
บทที่ 1 บทนำ.....	1
1.1 ความเป็นมา และความสำคัญของโครงการ.....	1
1.2 วัตถุประสงค์ของโครงการ.....	1
1.3 เกณฑ์ชี้วัดผลงาน (Output).....	2
1.4 เกณฑ์ชี้วัดผลความสำเร็จ (Outcomes).....	2
1.5 ขอบเขตในการดำเนินโครงการ.....	2
1.6 สถานที่ในการดำเนินโครงการ.....	3
1.7 ระยะเวลาในการดำเนินโครงการ.....	3
1.8 ขั้นตอน และแผนการดำเนินโครงการ.....	3
บทที่ 2 หลักการ และทฤษฎีเบื้องต้น.....	4
2.1 โปรแกรมช่วยในการจำลอง (Program Simulation)	4
2.2 การเขียนแบบแม่พิมพ์ในระบบ 3 มิติ (Drawing Mold in 3D).....	5
2.3 โปรแกรม Thermo-Calc (Demo Version).....	6
2.4 เครื่องกัดซีเอ็นซี (CNC Milling Machine).....	7
2.5 อะลูมิเนียม และอะลูมิเนียมผสม (Aluminum and Aluminum Alloys).....	7
2.6 อะลูมิเนียมผสมสำหรับงานหล่อ (Aluminum Alloys for Casting).....	8
2.7 มาตรฐานของอะลูมิเนียม.....	9
2.8 มาตรฐานของเหล็กกล้าคาร์บอนต่ำ.....	10

สารบัญ (ต่อ)

หน้า

2.9 การทดสอบความสามารถในการไหล (Fluidity Test).....	11
2.10 องค์ประกอบที่มีอิทธิพลต่อการไหล (Element of Fluidity).....	13
2.11 อุปกรณ์ และเครื่องมือที่ใช้ในการทดสอบ.....	14
2.12 งานวิจัยที่เกี่ยวข้อง.....	16
บทที่ 3 วิธีการดำเนินโครงการ.....	20
3.1 ขั้นตอน และระเบียบวิธีวิจัยที่ใช้ในการดำเนินโครงการ.....	20
3.2 วัสดุ และอุปกรณ์.....	20
3.3 ขั้นตอนการดำเนินโครงการ.....	22
3.4 ขั้นตอนการวิเคราะห์ และสรุปผลการทดสอบ.....	26
บทที่ 4 ผลการทดลอง และการวิเคราะห์.....	28
4.1 ผลการทดสอบจากเครื่องวิเคราะห์สมบัติทางความร้อน องค์ประกอบทางเคมี และการเปลี่ยนแปลงทางความร้อน.....	28
4.2 ผลการทดสอบจากโปรแกรม Thermo-Calc (DEMO version).....	30
4.3 ผลการหล่อจริง.....	31
4.4 ผลการทดสอบด้วยการไหลโดยใช้โปรแกรมช่วยในการจำลอง.....	33
4.5 เปรียบเทียบผลของด้วยการไหลโดยใช้โปรแกรมช่วยในการจำลองกับการหล่อจริง....	37
บทที่ 5 บทสรุป และข้อเสนอแนะ.....	41
5.1 บทสรุป.....	41
5.2 ปัญหาที่พบ และแนวทางการแก้ไข.....	41
5.3 ข้อเสนอแนะ.....	41
5.4 การพัฒนา.....	42
เอกสารอ้างอิง.....	43

สารบัญ (ต่อ)

	หน้า
ภาคผนวก ก.....	45
ภาคผนวก ข.....	50
ภาคผนวก ค.....	52
ภาคผนวก ง.....	54
 ประวัติผู้ดำเนินโครงการ.....	 59



สารบัญตาราง

ตารางที่	หน้า
1.1 ขั้นตอน และแผนการดำเนินงานโครงการ.....	3
2.1 องค์ประกอบทางเคมีของอะลูมิเนียมผสม เอชี 2 เอ (ร้อยละโดยน้ำหนักโดยประมาณ).....	9
2.2 องค์ประกอบทางเคมีของเหล็กกล้าคาร์บอนต่ำ (ร้อยละโดยน้ำหนักโดยประมาณ)	10
3.1 อุณหภูมิเท และอัตราการเทที่ใช้ในงานหล่อจริง.....	24
3.2 อุณหภูมิเท และอัตราการเทที่ใช้ในโปรแกรมช่วยในการจำลอง.....	26
4.1 ผลการวิเคราะห์องค์ประกอบทางเคมีของอะลูมิเนียมผสม เอชี 2 เอ.....	29
4.2 ผลการวิเคราะห์องค์ประกอบทางเคมีของเหล็กกล้าคาร์บอนต่ำ.....	29
4.3 ดัชนีการให้เหล็กของอะลูมิเนียมผสม เอชี 2 เอ เมื่อทำการเปลี่ยนอุณหภูมิเท.....	32
4.4 ดัชนีการให้เหล็กของอะลูมิเนียมผสม เอชี 2 เอ เมื่อทำการเปลี่ยนอัตราการเท.....	33
4.5 เปรียบเทียบปริมาณส่วนผสมของอะลูมิเนียมผสม เอชี 2 เอ กับอะลูมิเนียม EN AC-45100 AISI5Cu3Mg.....	34
4.6 เปรียบเทียบปริมาณส่วนผสมของเหล็กกล้า Low-Carbon AISI 1008.....	34
4.7 เปรียบเทียบค่าสมบัติทางอื่นๆของอะลูมิเนียมผสม เอชี 2 เอ กับอะลูมิเนียม EN AC-45100 AISI5Cu3Mg	35
4.8 เปรียบเทียบค่าสมบัติอื่นของเหล็กกล้าคาร์บอนต่ำ กับ LowCarbon AISI 1008.....	35
4.9 ดัชนีการให้เหล็กของ Al EN AC-45100 AISI5Cu3Mg เมื่อทำการเปลี่ยนอุณหภูมิเท.....	38
4.10 ดัชนีการให้เหล็กของ Al EN AC-45100 AISI5Cu3Mg เมื่อทำการเปลี่ยนอัตราการเท.....	39
4.11 เปรียบเทียบดัชนีการให้เหล็กเมื่อทำการเปลี่ยนอุณหภูมิเท และอัตราการเทโดยใช้โปรแกรมช่วยในการจำลองกับการหล่อจริง.....	39
ก.1 ผลการวิเคราะห์องค์ประกอบทางเคมีของอะลูมิเนียมผสม เอชี 2 เอ.....	46
ก.2 ผลการวิเคราะห์องค์ประกอบทางเคมีของเหล็กกล้าคาร์บอนต่ำ.....	47
ก.3 องค์ประกอบทางเคมีของ EN AC-45100 AISI5Cu3Mg.....	48
ก.4 องค์ประกอบทางเคมีของ Low Carbon AISI 1008.....	49
ข.1 ผลการวิเคราะห์ทำการเปลี่ยนแปลงทางความร้อนของอะลูมิเนียมผสม เอชี 2 เอ.....	51
ข.2 ผลการวิเคราะห์ทำการเปลี่ยนแปลงทางความร้อนของเหล็กกล้าคาร์บอนต่ำ.....	51
ค.1 G-code สำหรับสร้างแม่พิมพ์แบบสไปรอล (Spiral Mold).....	53

สารบัญรูป

รูปที่	หน้า
2.1 ผลจากโปรแกรม Thermo-Calc (DEMO Version).....	6
2.2 เพสไดอะแกรมของอะลูมิเนียม-ชิลิคอน.....	10
2.3 การทดสอบความสามารถในการไหลโดยใช้แบบสไปรอล (Spiral Test).....	11
2.4 การทดสอบความสามารถในการไหลโดยใช้แบบสูญญากาศ (Vacuum Test).....	12
2.5 การทดสอบความสามารถในการไหลโดยใช้แบบช่อง (Strip Test).....	12
2.6 องค์ประกอบของเครื่องวิเคราะห์ห้องค่าประจุทางเคมี (Optical Emission Spectrometer).14	
2.7 ผลจากเครื่องวิเคราะห์สมบัติทางความร้อน (Differential Scanning Calorimeter) ของอะลูมิเนียม เอชี 2 เอ.....	16
3.1 ขั้นตอนการดำเนินโครงการ.....	21
3.2 แม่พิมพ์แบบสไปรอล (Spiral Mold)	23
3.3 ขั้นตอนสร้างแม่พิมพ์โดยใช้เครื่องกัดซีเอ็นซี (CNC Milling Machine).....	23
3.4 แม่พิมพ์สไปรอลทำจากเหล็กกล้าคาร์บอนต่ำ.....	24
3.5 เครื่องเทโลหะหลอมเหลว.....	24
3.6 ขั้นตอนการเทโลหะหลอมเหลวลงสู่แม่พิมพ์.....	25
4.1 กราฟแสดงผลการวิเคราะห์สมบัติทางความร้อนของอะลูมิเนียมผสม เอชี 2 เอ.....	28
4.2 ค่าสัดส่วนของแข็ง (Fraction Solid) ของอะลูมิเนียมผสม เอชี 2 เอ.....	30
4.3 ค่าสัดส่วนของแข็ง (Fraction Solid) ของเหล็กกล้าคาร์บอนต่ำ.....	31
4.4 ชิ้นงานอะลูมิเนียมผสม เอชี 2 เอ จากการหล่อจริง	31
4.5 ผลของดัชนีการไหลของ Al EN AC-45100 AlSi5Cu3Mg โดยใช้โปรแกรมช่วยในการจำลอง..36	
4.6 ผลของดัชนีการไหลของ Al EN AC-45100 AlSi5Cu3Mg โดยใช้โปรแกรมช่วยในการจำลอง..37	
4.1 ค่า Conductivity ของอะลูมิเนียม EN AC-45100 AlSi5Cu3Mg.....	55
4.2 ค่า Density ของอะลูมิเนียม EN AC-45100 AlSi5Cu3Mg.....	55
4.3 ค่า Specific Heat ของอะลูมิเนียม EN AC-45100 AlSi5Cu3Mg.....	56
4.4 ค่า Fraction Solid ของอะลูมิเนียม EN AC-45100 AlSi5Cu3Mg.....	56
4.5 ค่า Conductivity ของเหล็กกล้าคาร์บอนต่ำ Low-Carbon AISI 1008.....	57
4.6 ค่า Density ของเหล็กกล้าคาร์บอนต่ำ Low-Carbon AISI 1008.....	57
4.7 ค่า Enthalpy ของเหล็กกล้าคาร์บอนต่ำ Low-Carbon AISI 1008.....	58
4.8 ค่า Fraction Solid ของเหล็กกล้าคาร์บอนต่ำ Low-Carbon AISI 1008.....	58

บทที่ 1

บทนำ

1.1 ความเป็นมา และความสำคัญของโครงการ

ปัจจุบันการใช้งานอะลูมิเนียม และอะลูมิเนียมผสมมีแนวโน้มมากขึ้นอย่างต่อเนื่อง เนื่องจากมีสมบัติที่เด่นหลายประการ เช่น น้ำหนักเบา มีความแข็งแรงต่อน้ำหนักสูง จุดหลอมเหลวต่ำ มีความต้านทานการกัดกร่อน มีอุณหภูมิหลอมเหลวต่ำ มีความสามารถในการหล่อที่ดี และสามารถนำมากรีดได้ง่าย เป็นต้น จึงนิยมใช้กันอย่างแพร่หลายในภาคอุตสาหกรรมต่างๆ โดยเฉพาะอุตสาหกรรมยานยนต์ อุตสาหกรรมอากาศยาน ชิ้นส่วนอิเล็กทรอนิกส์ ซึ่งมีหลายชิ้นส่วนที่ใช้อะลูมิเนียมทดแทน การใช้งานของเหล็กหล่อ หรือเหล็กกล้าหล่อ เนื่องจากมีสมบัติที่เด่นหลายประการ อะลูมิเนียมหล่อ นั้นสามารถสามารถในการหล่อที่ดี เนื่องจากมีความสำคัญในขั้นตอนการผลิต หนึ่งในความสามารถในการหล่อที่มีความสำคัญมากคือความสามารถในการไหล (Fluidity) ของโลหะหลอมเหลว (ยังคงศักดิ์, 2558)

เนื่องจากในการปฏิบัติงานจริงไม่สามารถที่จะทำการทดลองหรือปรับเปลี่ยนกระบวนการทำงานได้ง่าย จึงได้นำเอาโปรแกรมช่วยในการจำลองมาทำการวิเคราะห์ผลของการหล่อจริงก่อนที่จะทำการหล่อจริง ซึ่งจะช่วยให้เห็นผลการจำลอง (Simulation) ต่างๆ ทำให้ได้รู้ถึงจุดบกพร่องที่ควรแก้ไขทั้งในด้านการออกแบบ และค่าตัวแปร (Parameter) ที่ได้กำหนดหรือป้อนใส่เข้าในโปรแกรม ก่อนทำการวิเคราะห์ในโปรแกรม การจำลองหรือวิเคราะห์นี้สามารถเปลี่ยนแปลงค่าตัวแปร (Parameter) ที่มีอิทธิพลต่อการออกแบบในขั้นตอนต่างๆ ได้โดยง่าย หลังจากป้อนค่าลงโปรแกรมจะคำนวณค่าที่เราต้องการทราบหรือพับข้อบกพร่องที่จะเกิดขึ้นได้ (เชิดศักดิ์, 2547)

ในโครงการนี้ได้ศึกษาปัจจัยของอุณหภูมิเท และอัตราการเทที่ส่งผลต่อดัชนีการไหลของอะลูมิเนียมผสม เอซี 2 เอ จากนั้นใช้โปรแกรมช่วยในการจำลองมาทำการทดสอบความสามารถในการไหล (Fluidity) ของอะลูมิเนียมหลอมเหลวโดยการเปลี่ยนอุณหภูมิเท และอัตราการเทจากนั้นทำการวิเคราะห์ผลของการไหล เมื่อทำการเปลี่ยนอุณหภูมิเท และอัตราการเทโดยใช้โปรแกรมช่วยในการจำลอง และวิเคราะห์ชิ้นงานที่ได้จากการหล่อจริงเปรียบเทียบกับโปรแกรมช่วยในการจำลอง

1.2 วัตถุประสงค์ของโครงการ

1.2.1 เปรียบเทียบความแตกต่างของอุณหภูมิเทที่ส่งผลต่อดัชนีการไหล โดยใช้โปรแกรมช่วยในการจำลอง

1.2.2 เปรียบเทียบความแตกต่างของอัตราการเทที่ส่งผลต่อดัชนีการไหล โดยใช้โปรแกรมช่วยในการจำลอง

1.2.3 เปรียบเทียบผลของดัชนีการไหล โดยใช้โปรแกรมช่วยในการจำลองกับการหล่อจริง

1.3 เกณฑ์ชี้วัดผลงาน (Output)

- 1.3.1 ผลของดัชนีการให้ผลเมื่อทำการเปลี่ยนอุณหภูมิเท และอัตราการเท โดยใช้โปรแกรมช่วยในการจำลอง
- 1.3.2 ขึ้นงานที่ได้จากการหล่อจริงโดยเปรียบเทียบ ณ 2 อุณหภูมิเท และ 2 อัตราการเท

1.4 เกณฑ์ชี้วัดผลสำเร็จ (Outcomes)

- 1.4.1 วิเคราะห์ผลของดัชนีการให้ผล เมื่อทำการเปลี่ยนอุณหภูมิเท และอัตราการเทโดยใช้โปรแกรมช่วยในการจำลอง
- 1.4.2 วิเคราะห์ขึ้นงานที่ได้จากการหล่อจริง เปรียบเทียบกับโปรแกรมช่วยในการจำลอง

1.5 ขอบเขตในการดำเนินโครงการ

- 1.5.1 วัสดุที่ใช้ในการทดลอง คือ อะลูมิเนียมผสม เอซี 2 เอ
- 1.5.2 แม่พิมพ์สpiral mold ทำจากเหล็กกล้าคาร์บอนต่ำ
- 1.5.3 อุณหภูมิเท 560, 600, 680 และ 720 องศาเซลเซียส
- 1.5.4 อัตราการเทระดับที่ 1 (อัฐในช่วง 0.157-0.177 กิโลกรัมต่อวินาที) และระดับที่ 2 (0.284 กิโลกรัมต่อวินาที)
- 1.5.5 โปรแกรมช่วยในการจำลอง (ProCAST 2015) เพื่อทดสอบดัชนีการให้ผล
- 1.5.6 โปรแกรมเขียนแบบ (AutoCAD 2016) เพื่อเขียนแบบแม่พิมพ์ในระบบ 3 มิติ
- 1.5.7 โปรแกรม Thermo-Calc (Demo Version) เพื่อหาสัดส่วนของแข็ง (Fraction Solid) ของอะลูมิเนียมผสม เอซี 2 เอ และเหล็กกล้าคาร์บอนต่ำ
- 1.5.8 เทอร์โมคัปเปิล (Thermocouple) วัดอุณหภูมิเท
- 1.5.9 เครื่องกัดซีเอ็นซี (CNC Milling Machine) สร้างแม่พิมพ์
- 1.5.10 เครื่องวิเคราะห์องค์ประกอบทางเคมี (Optical Emission Spectrometer ; OES) เพื่อทางค์ประกอบทางเคมีของอะลูมิเนียมผสม เอซี 2 เอ และเหล็กกล้าคาร์บอนต่ำ
- 1.5.11 เครื่องวิเคราะห์การเปลี่ยนแปลงทางความร้อน (Thermal Conductivity Analysis ; TCA) เพื่อหาค่าสัมประสิทธิ์การนำความร้อน (Thermal Conductivity) ของอะลูมิเนียมผสม เอซี 2 เอ และเหล็กกล้าคาร์บอนต่ำ
- 1.5.12 เครื่องวิเคราะห์สมบัติทางความร้อน (Differential Scanning Calorimeter ; DSC) เพื่อหาอุณหภูมิของเหลว (Liquidus Temperature) และอุณหภูมิของแข็ง (Solidus Temperature) ของอะลูมิเนียมผสม เอซี 2 เอ

1.6 สถานที่ในการดำเนินโครงการ

อาคารปฏิบัติการวิศวกรรมอุสาหการ คณะวิศวกรรมศาสตร์ มหาวิทยาลัยนเรศวร

1.7 ระยะเวลาในการดำเนินโครงการ

กันยายน 2559 – พฤษภาคม 2560

1.8 ขั้นตอน และแผนการดำเนินโครงการ

ตารางที่ 1.1 ขั้นตอน และแผนการดำเนินงานโครงการ

การดำเนินงานโครงการ	ช่วงระยะเวลา									
	พ.ศ. 2559					พ.ศ. 2560				
	ก.ย.	ต.ค.	พ.ย.	ธ.ค.	ม.ค.	ก.พ.	มี.ค.	เม.ย.	พ.ค.	
1.8.1 ศึกษาหาข้อมูล	←		→							
1.8.2 ส่งขึ้นงานทดสอบ				←	→					
1.8.3 เขียนแบบแม่พิมพ์ โดยใช้โปรแกรม					←	→				
1.8.4 สร้างแม่พิมพ์					←	→				
1.8.5 ทดสอบดัชนีการไหล โดยใช้โปรแกรมช่วยใน จำลอง					←		→			
1.8.6 ทำการหล่อจริง					←	→				
1.8.7 เปรียบเทียบผลของ การหล่อโดยใช้โปรแกรม ช่วยในการจำลองกับงาน หล่อจริง					←	→				
1.8.8 วิเคราะห์ และ สรุปผลการทดลอง					←	→				
1.8.9 รวบรวมข้อมูล และ จัดทำรูปเล่ม					←	→				

บทที่ 2

หลักการ และทฤษฎีเบื้องต้น

2.1 โปรแกรมช่วยในการจำลอง (Program Simulation)

การนำเอาโปรแกรมทางคอมพิวเตอร์มาประยุกต์ใช้กับงานทางวิศวกรรม เพื่อทำการวิเคราะห์ผลดีหรือผลเสียก่อนทำการผลิต หรือรู้จักกันโดยทั่วไปในชื่อของคอมพิวเตอร์ช่วยวิเคราะห์ทางวิศวกรรม (Computer Aided Engineering) ซึ่งจะช่วยให้สามารถที่จะเห็นผลจากการจำลอง และทำการการวิเคราะห์ล่วงหน้า ทำให้ได้รู้สึกถึงจุดบกพร่องที่ควรแก้ไขทั้งในด้านการออกแบบ และตัวแปร (Parameter) ที่ได้กำหนดหรือป้อนใส่เข้าในโปรแกรมก่อนทำการวิเคราะห์ในโปรแกรม การจำลองหรือวิเคราะห์ทางวิศวกรรมนี้สามารถที่จะเปลี่ยนแปลงค่าตัวแปร (Parameter) ที่มีอิทธิพลต่อการออกแบบในขั้นตอนต่าง ๆ ได้โดยง่าย และไม่เกิดการเสียหายกับงานแต่ละการได้ และค่าตัวแปร (Parameter) นั้นก็คือค่าในสภาวะการทำงานจริงที่ผู้ปฏิบัติงานได้ปฏิบัติอยู่ทุกวัน กล่าวได้ว่าการใช้โปรแกรมช่วยวิเคราะห์ทางวิศวกรรมเป็นการช่วยลดต้นทุน เพิ่มคุณภาพของชิ้นงาน เป็นการวิเคราะห์หาสาเหตุข้อบกพร่องต่างๆ ของชิ้นงาน ก่อนทำการหล่อจริง (ເກີດສັກດີ, 2547)

2.1.1 โปรแกรมช่วยในการจำลองงานหล่อ (Program Simulation of Casting)

โปรแกรมช่วยในการจำลอง คือ โปรแกรมสำหรับใช้จำลองกรรมวิธีการหล่อขึ้นรูปโลหะ ซึ่งถูกนำมาใช้ในการศึกษากระบวนการหล่อเม็ดร้อนของการทำงานเป็น 1 รอบ ต่อการผลิตชิ้นงาน 1 กระบวนการ โดยรอบนี้ เริ่มตั้งแต่โลหะหลอมเหลวอยู่ที่ทางเข้าของแม่พิมพ์ และโลหะหลอมเหลวเข้าสู่แม่พิมพ์จนเต็ม หลังจากนั้นจะเข้าสู่การแข็งตัว (Solidification) เมื่อแข็งตัวได้ตามเวลาที่กำหนด แม่พิมพ์โลหะจะถูกเปิด เพื่อเอาชิ้นงานหล่อออกนับเป็น 1 รอบ
การวิเคราะห์ผลของการจำลองหลักๆ นั้นมีดังนี้

2.1.1.1 การไหลของโลหะหลอมเหลวในแม่พิมพ์ (Filling)

2.1.1.2 ความเร็วในการไหลของโลหะหลอมเหลวในแม่พิมพ์ (Melt Velocity)

2.1.1.3 แรงดันของโลหะหลอมเหลวในแม่พิมพ์ (Melt Pressure)

2.1.1.4 การแข็งตัวของโลหะหลอมเหลวในแม่พิมพ์ (Solidification)

2.1.1.5 ทิศทางการไหลของโลหะหลอมเหลวในแม่พิมพ์ (Flow Direction)

2.1.1.6 รูพรุนที่อาจเกิดขึ้นในเนื้อชิ้นงานหล่อ (Porosity)

ในการใช้โปรแกรมช่วยในการจำลองนั้นผลที่ได้จะมีความเที่ยงตรงหรือถูกต้องมากน้อย แค่ไหนนั้นขึ้นอยู่กับค่าตัวแปร (Parameters) ต่างๆ ที่ป้อนเข้าไปในโปรแกรม

2.1.2 ตัวแปรที่ต้องป้อนลงในโปรแกรมจำลองการหล่อ

2.1.2.1 อุณหภูมิแม่พิมพ์หลอมของวัสดุ

- 2.1.2.2 อุณหภูมิแม่พิมพ์
- 2.1.2.3 อุณหภูมิเทลหะหลอมเหลว
- 2.1.2.4 อุณหภูมิล้อมรองขณะทำการหล่อ
- 2.1.2.5 อัตราการไหลของโลหะหลอมเหลว
- 2.1.2.6 ค่าสัมประสิทธิ์การถ่ายเทความร้อนของวัสดุที่ใช้
- 2.1.2.7 ขนาดทางเข้าของโลหะหลอมเหลว
- 2.1.2.8 ชนิดของวัสดุที่ใช้ทำแม่พิมพ์
- 2.1.2.9 ค่าสัดส่วนของแข็ง (Fraction Solid) ของวัสดุ
- 2.1.2.10 ค่าความหนาแน่นของวัสดุ

ความหนาแน่น คือ มวลของสารต่อหนึ่งหน่วยปริมาตรจากสมการ 2.1

$$\rho = \frac{m}{v} \quad (2.1)$$

ρ คือ ความหนาแน่นของวัสดุ (หน่วย กิโลกรัมต่อลูกบาศก์เมตร)

m คือ มวลรวมของวัสดุ (หน่วย กิโลกรัม)

v คือ ปริมาตรรวมของวัสดุ (หน่วย ลูกบาศก์เมตร)

2.1.3 ผลของการวิเคราะห์การจำลองหลัก

- 2.1.3.1 การไหลของโลหะหลอมเหลวในแม่พิมพ์ (Filling)
- 2.1.3.2 ความเร็วในการไหลของโลหะหลอมเหลวในแม่พิมพ์ (Melt Velocity)
- 2.1.3.3 การแข็งตัวของโลหะหลอมเหลวในแม่พิมพ์ (Solidification)
- 2.1.3.4 ทิศทางการไหลของโลหะหลอมเหลวในแม่พิมพ์ (Flow Direction)

2.2 การเขียนแบบแม่พิมพ์ในระบบ 3 มิติ (Drawing Mold in 3D)

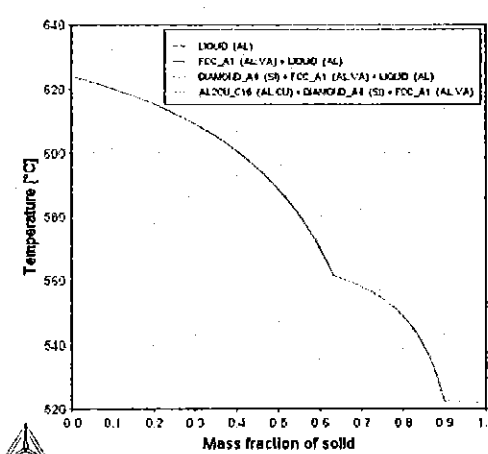
โดยใช้โปรแกรมเขียนแบบ (AutoCAD) เป็นเครื่องมือช่วยให้งานเขียนแบบง่าย และรวดเร็ว มากนัย เช่น เครื่องมือในการออกแบบ เครื่องมือในการคำนวณ และเขียนขนาดอัตโนมัติ เป็นต้น ข้อมูลงานเขียนแบบด้วยคอมพิวเตอร์จะถูกจัดเก็บในรูปของข้อมูลอิเล็กทรอนิกส์ ซึ่งไม่จำเป็นต้องการที่เก็บมากเหมือนกระดาษ และที่สำคัญข้อมูลอิเล็กทรอนิกส์ดังกล่าวสามารถเรียกกลับมาบันทึก เพื่อแก้ไข ปรับเปลี่ยน ส่งผ่านระบบสื่อสารเครือข่ายหรือพิมพ์ออกเครื่องพิมพ์ได้อย่างสะดวกง่ายดาย ซึ่งขั้นตอนการจำลองงานหล่อเริ่มต้นกระบวนการโดยการสร้างแบบจำลองชิ้นงาน 3 มิติ (CAD) หลังจากนั้นทำการส่งไฟล์ของแบบที่เขียนโดยโปรแกรมเขียนแบบ (AutoCAD) เข้าสู่กระบวนการจำลองซึ่งเป็นโปรแกรมช่วยในการจำลอง (ProCAST 2015) และทำการป้อนค่าตัวแปร (Parameters) ต่างๆ เพื่อคำนวณผลการวิเคราะห์ของการจำลองต่างๆ (หนงศักดิ์, 2554)

2.3 โปรแกรม Thermo-Calc (DEMO Version)

โปรแกรม Thermo-Calc (DEMO Version) เป็นโปรแกรมที่มีประสิทธิภาพมากที่สุดสำหรับการคำนวณอุณหพลศาสตร์ และสามารถคำนวณได้หลากหลายค่ารวมถึงการคำนวณ ดังต่อไปนี้

- 2.3.1 สมดุลของเฟสที่ต่างกันในสถานะเสถียรภาพ และกึ่งเสถียรภาพ
- 2.3.2 จำนวนขั้นตอน และองค์ประกอบของสารเคมีที่ขึ้นอยู่กับอุณหภูมิและสารเคมี
- 2.3.3 เฟสการเปลี่ยนแปลงของอุณหภูมิ เช่น ของแข็ง ของเหลว และตัวทำละลาย
- 2.3.4 ข้อมูลทางอุณหพลศาสตร์ เช่น เอนthalpy (Enthalpy) และความจุความร้อน (Heat Capacity)
- 2.3.5 แรงที่ทำให้เฟสเกิดการเปลี่ยนแปลง
- 2.3.6 การทำให้แข็งตัวโดยใช้รูปแบบของ Scheil-Gulliver
- 2.3.7 สมบัติทางอุณหพลศาสตร์ของปฏิกิริยาทางเคมี และการคำนวณอื่นๆ ที่เกี่ยวข้องกับสารละลายในน้ำ (Bo Sundman, 2017)

โปรแกรม Thermo-Calc (DEMO Version) นี้สามารถคำนวณค่าได้หลากหลายช่องในการทำโครงการนี้ได้คำนวณหาสัดส่วนของแข็ง (Fraction Solid) ของอะลูมิเนียมผสม เอชี 2 เอ และเหล็กกล้าคาร์บอนต่ำ ซึ่งผลจากโปรแกรมแสดงดังรูปที่ 2.1 โดยนำองค์ประกอบทางเคมีของอะลูมิเนียมผสม เอชี 2 เอ และเหล็กกล้าคาร์บอนต่ำจากเครื่องวิเคราะห์องค์ประกอบทางเคมี (Optical Emission Spectrometer) มาใส่ในโปรแกรม Thermo-Calc โดยจะมีข้อมูลพื้นฐาน เทอร์โมไดนาไมค์ส (Thermodynamic) ของระบบโปรแกรมเพื่อคำนวณให้โดยจะใส่องค์ประกอบทางเคมีของวัสดุที่ต้องการให้คำนวณ จากนั้นจะได้ค่าสัดส่วนของแข็ง โดยจะนำข้อมูลเชิงตัวเลขที่ได้จากการนำไปใส่ในโปรแกรมช่วยในการจำลองในส่วนของการเพิ่มวัสดุที่ใช้ในโครงการนี้ เนื่องจากในโปรแกรมช่วยในการจำลองไม่มีวัสดุที่โครงการใช้จึงต้องเพิ่มวัสดุเข้าไปโดยใช้ข้อมูลของอะลูมิเนียม-ผสม เอชี 2 เอ และเหล็กกล้าคาร์บอนต่ำ (องค์ประกอบทางเคมี สัมประสิทธิ์การนำความร้อน ความหนาแน่น สัดส่วนของแข็ง อุณหภูมิของเหลว และอุณหภูมิของแข็ง)



รูปที่ 2.1 ผลจากโปรแกรม Thermo-Calc (DEMO Version)

2.4 เครื่องกัดซีเอ็นซี (CNC Milling Machine)

CNC ย่อมาจากคำว่า Computer Numerical Control หมายถึง การควบคุมการทำงานของเครื่องจักรด้วยคำสั่งเชิงตัวเลขด้วยคอมพิวเตอร์ ระบบคอมพิวเตอร์ และระบบอิเล็กทรอนิกส์ จะทำการประมวลผล และส่งการให้เครื่องจักรทำงานหรือเกิดการเคลื่อนที่จากชุดคำสั่งต่างๆ เครื่องจักรกล กัดซีเอ็นซีจะทำงานได้นั้น ระบบควบคุมของเครื่องจะต้องได้รับคำสั่งเป็นภาษาที่ระบบควบคุมเข้าใจ ได้เสียก่อนว่าจะให้เครื่องจักรกลซีเอ็นซีทำอะไร ดังนั้นจึงจำเป็นจะต้องป้อนโปรแกรม เข้าไปในระบบควบคุมของเครื่องผ่านแป้นพิมพ์ (Key Board) จุดประสงค์ของการใช้เครื่องกัดซีเอ็นซีเพื่อใช้คำสั่งจากโปรแกรมสั่งการให้เครื่องจักรผลิตชิ้นงานที่มีรูปร่าง ขนาดตามต้องการ ซึ่งการผลิตชิ้นงานโดยเครื่องกัดซีเอ็นซีจะได้ชิ้นงานที่มีความถูกต้องแม่นยำ และผลิตชิ้นงานได้อย่างรวดเร็วเพื่อให้ได้ชิ้นงานจำนวนมากๆ (ชาญชัย, 2557)

ดังนั้น จึงใช้เครื่องกัดซีเอ็นซีในการสร้างแม่พิมพ์เพื่อให้ได้ขนาดที่เที่ยงตรงแม่นยำ ซึ่งแม่พิมพ์ที่สร้างขึ้นนั้นจะนำมาหล่ออะลูминเนียมหลอมเหลวเพื่อทดสอบหาค่าตัวชนีการไหล

2.5 อะลูมิเนียม และอะลูมิเนียมผสม (Aluminum and Aluminum Alloys)

อะลูมิเนียม และอะลูมิเนียมผสมเป็นโลหะที่รู้จักกันอย่างแพร่หลาย เพราะมีน้ำหนักเบา มีความหนาแน่นประมาณ 1/3 ของเหล็กกล้า แต่อะลูมิเนียมผสมจะมีอัตราส่วนของความแข็งแรงต่อน้ำหนัก ต่ำกว่าเหล็กกล้าชนิดความแข็งแรงสูง (High Strength Steels) เท่านี้เองจึงนิยมใช้ทำโครงสร้างของเครื่องบิน ชิ้นส่วนยานยนต์ และเครื่องจักรต่างๆ

สมบัติที่สำคัญของอะลูมิเนียม และอะลูมิเนียมผสมมีหลายประการ คือ มีความหนาแน่นน้อย น้ำหนักเบาแต่มีความแข็งแรงสูง มีความเหนียวสูง สามารถนำไปขึ้นรูปด้วยกรรมวิธีต่างๆ ได้ง่าย มีอุณหภูมิหลอมเหลวต่ำทำให้ง่ายต่อการหล่อ ทำให้ในปัจจุบันปริมาณการใช้งานอะลูมิเนียม และอะลูมิเนียมผสมมีแนวโน้มเพิ่มขึ้นอย่างต่อเนื่อง โดยเฉพาะอย่างยิ่งอะลูมิเนียมหล่อ (Cast Aluminum) พบร่วมในอุตสาหกรรมชิ้นส่วนยานยนต์ มีหลายชิ้นส่วนที่ใช้อลูมิเนียมทดแทนการใช้งานของเหล็กหล่อหรือเหล็กกล้าหล่อ มีสมบัติการนำความร้อนสูง และไม่มีพิษต่อร่างกายมนุษย์ จึงนิยมนำไปใช้ทำภาชนะหุงต้มอาหาร มีความต้านทานต่อการกัดกร่อนในบรรยากาศที่ใช้งานโดยทั่วไปได้ดี (ณรงค์ศักดิ์, 2558)

การจำแนกประเภทของอะลูมิเนียมผสม อะลูมิเนียมผสมสามารถ分為 กับโลหะอื่นๆ ได้หลายชนิด เช่น ทองแดง ชิติคอน แมกนีเซียม สังกะสี ซึ่งอะลูมิเนียมผสมแต่ละประเภทจะมีสมบัติที่แตกต่างกันไป สามารถเลือกใช้งานก็ว่างขาว อะลูมิเนียมผสมสามารถจำแนกได้เป็น 2 ประเภท ใหญ่ๆ ดังนี้

2.5.1 อะลูมิเนียมประเภทการขึ้นรูป (Aluminum Alloys Type of Forming) ซึ่งแบ่งออกเป็น 2 แบบ

2.5.1.1 อะลูมิเนียมพสมประเกทขึ้นรูปเย็น (Wrought) กระทำที่อุณหภูมิต่ำกว่า อุณหภูมิวิกฤต (Recrystallization Temperature) จนถึงอุณหภูมิห้อง เป็นกรรมวิธีที่ทำให้งานที่ผ่านกรรมวิธีร้อนมาแล้ว อะลูมิเนียมพสมที่ไม่สามารถเพิ่มความแข็งได้ โดยวิธีการอบชุบก็อาจจะทำให้แข็งได้ด้วยวิธีริดเย็น

2.5.1.2 อะลูมิเนียมพสมประเกทขึ้นรูปร้อน (Hot Working) กระทำที่อุณหภูมิสูงกว่า อุณหภูมิวิกฤต (Recrystallization Temperature) จนกระทั่งอะลูมิเนียมอยู่ในสภาพอ่อนตัว (Plastic) แล้วนำไปผ่านลูกรีด เพื่อลดขนาดพื้นที่หน้าตัดลง การรีดก่อนที่จะได้ชิ้นงานสำเร็จนั้นต้องทำให้ชิ้นงานมีขนาดที่เหมาะสมกับการนำไปขึ้นรูปเป็นผลิตภัณฑ์ต่อไป

2.5.2 อะลูมิเนียมพสมประเกทหล่อ (Aluminum Alloys Type of Cast) เป็นอะลูมิเนียมที่มีสมบัติพิเศษ มีความสามารถในการหล่อที่ดี ช่วยในการหล่อขึ้นรูปได้ง่าย ส่วนใหญ่อะลูมิเนียมพสมชนิดนี้สามารถชุบแข็งตัวด้วยความร้อนได้ อะลูมิเนียมพสมที่สำคัญ ได้แก่ ซิลิคอน เพาะซิลิคอน จะช่วยให้ความสามารถในการหล่อของโลหะหลอมเหลวไหลเข้าสู่โครงแบบหล่อสูงขึ้น (ณรงค์ฤทธิ์, 2559)

2.6 อะลูมิเนียมพสมสำหรับงานหล่อ (Aluminum Alloys for Casting)

ปัจจุบันการใช้งานอะลูมิเนียม และอะลูมิเนียมพสมมีแนวโน้มเพิ่มขึ้นอย่างต่อเนื่อง ซึ่งอะลูมิเนียมพสมที่ขึ้นรูปด้วยการหล่อ โดยส่วนมากจะมีซิลิคอนเป็นธาตุพสมหลัก เพราะซิลิคอนจะทำให้หลอมได้ง่าย ส่งผลให้ความสามารถในการหล่อตัว (Flow Ability) ได้ดีหรือความสามารถของโลหะหลอมเหลวที่ไหลตัวเข้าสู่โครงแบบหล่อ ก่อนการแข็งตัว และทำให้ความสามารถในการหล่อต่อไป หรือความสามารถของโลหะหลอมเหลวที่แข็งตัวเป็นชิ้นงานตามโครงแบบหล่อได้ง่าย โดยเฉพาะอย่างยิ่ง อะลูมิเนียมหล่อ พบร่วมกับอุตสาหกรรมชั้นส่วนยานยนต์ มีหลายชิ้นส่วนที่ใช้อลูมิเนียมหล่อ เช่น น้ำหนักเบา มีความแข็งแรงต่ออัมมานักสูง จุดหลอมเหลวต่ำ มีความต้านทานต่อการเป็นสนิม มีลักษณะผิวที่สวยงาม มีอุณหภูมิหลอมเหลวต่ำ มีความสามารถในการหล่อที่ดี และสามารถนำมากลึงได้ตั้งแต่ได้จ่าย เป็นต้น อะลูมิเนียมหล่อนั้นความมีความสามารถในการหล่อที่ดี เนื่องจากมีความสามารถสำคัญในขั้นตอนการผลิต หนึ่งในความสามารถในการหล่อที่มีความสำคัญมากคือความสามารถในการหล่อ (Fluidity) ของโลหะหลอมเหลว โดยความสามารถในการหล่อของโลหะหลอมเหลวหมายถึงการที่โลหะหลอมเหลวสามารถไหลได้ในแบบหล่อ ก่อนที่จะเกิดการแข็งตัว โดยความสามารถในการหล่อของโลหะหลอมเหลวจะบอกร่องความสามารถในการป้อนเติมโลหะหลอมเหลวเข้าสู่แบบหล่อ ปัจจัยที่มีผลต่อค่าความสามารถในการหล่อของโลหะหลอมเหลวสามารถแบ่งได้เป็น 3 ส่วน คือ

2.6.1 การเปลี่ยนแปลงที่เกิดจากโลหะหลอมเหลว ได้แก่ อุณหภูมิ ความหนืด และความร้อน แฟงในการหลอมคล้าย

2.6.2 การเปลี่ยนแปลงที่เกิดจากแบบหล่อ ได้แก่ ความสามารถในการถ่ายเทความร้อนของแบบหล่อ ความต้านทานต่อการถ่ายเทความร้อนบริเวณผิวรอยต่อระหว่างโลหะหลอมเหลวกับแบบหล่อ และความร้อนจำเพาะ

2.6.3 การเปลี่ยนแปลงที่เกิดจากการหล่อ ได้แก่ ขนาดช่องทางวิ่งของโลหะหลอมเหลว

2.7 มาตรฐานของอะลูมิเนียม

มาตรฐานที่นิยมใช้สำหรับการแบ่งชนิดของอะลูมิเนียมสำหรับอุตสาหกรรมหล่อโลหะในประเทศไทยคือ มาตรฐานของสหรัฐอเมริกา (Aluminum Association ; AA) และประเทศญี่ปุ่น (Japanese Industrial Standard ; JIS) โดยโรงงานได้ใช้อะลูมิเนียมมาตรฐานของสหรัฐอเมริกา A319.1 และมาตรฐานของญี่ปุ่น AC2A ซึ่งทั้ง 2 มาตรฐานนี้จะมีองค์ประกอบทางเคมี ร้อยละโดยน้ำหนักที่ใกล้เคียงกัน ดังตารางที่ 2.1

ตารางที่ 2.1 องค์ประกอบทางเคมีของอะลูมิเนียมผสม เอชี 2 เอ (ร้อยละโดยน้ำหนักโดยประมาณ)

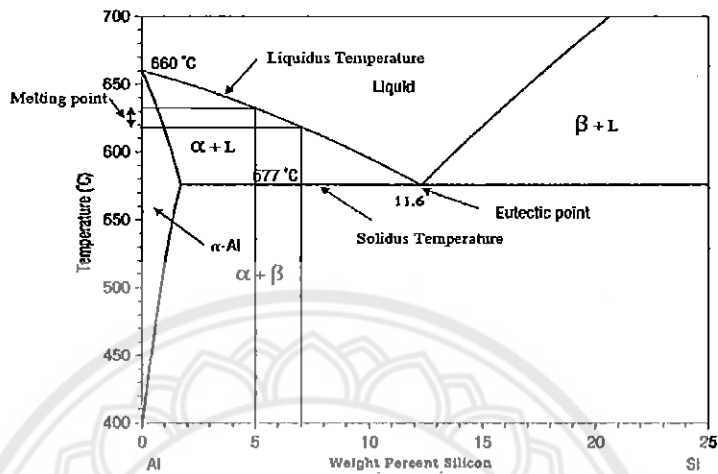
ธาตุ (Element)	ร้อยละโดยน้ำหนัก (Percent by Weight)
ซิลิคอน (Si)	5.0-7.0
ทองแดง (Cu)	3.0-5.0
สังกะสี (Zn)	2.0
เหล็ก (Fe)	0.90
แมกนีเซียม (Mg)	0.55
แมงกานีส (Mn)	0.20-0.65
อะลูมิเนียม (Al)	Balance

ที่มา: รศ.ดร.เชาวลิต (2511)

2.7.1 พิจารณาเฟสโดยแกรมของอะลูมิเนียม-ซิลิคอน

จากเฟสโดยแกรมของอะลูมิเนียม และซิลิคอน ดังรูปที่ 2.2 พบร่วมกัน มีซิลิคอนละลายเข้าไปในอะลูมิเนียมทำให้จุดหลอมเหลวของอะลูมิเนียมผสมอยู่ต่ำสุดที่จุดปฏิกิริยาญูเทคติก (Eutectic Reaction) ที่ส่วนผสมของซิลิคอนประมาณร้อยละ 11.6 โดยน้ำหนัก ที่อุณหภูมิประมาณ 577 องศาเซลเซียส โดยเรียกว่าอะลูมิเนียม-ซิลิคอนที่มีองค์ประกอบทางเคมีที่จุดปฏิกิริยาญูเทคติกนี้ว่า อะลูมิเนียม-ซิลิคอนเกรดญูเทคติก แต่หากอะลูมิเนียม-ซิลิคอนมีปริมาณของซิลิคอนอยู่น้อยกว่า ร้อยละ 11.6 โดยน้ำหนัก จะเรียกว่าเป็นอะลูมิเนียม-ซิลิคอนเกรดไฮเปอญูเทคติก (Hypoeutectic) และในกรณีที่มีซิลิคอนอยู่มากกว่าร้อยละ 11.6 โดยน้ำหนัก จะเรียกว่าอะลูมิเนียม-ซิลิคอนเกรดไฮเปอร์ญูเทคติก (Hypereutectic) และจากเฟสโดยแกรมของอะลูมิเนียม-ซิลิคอน จะพบอุณหภูมิ

ของเหลว (Liquidus Temperature) และอุณหภูมิของแข็ง (Solidus Temperature) เมื่อพิจารณา เฟสไดอะแกรมอะลูมิเนียม-ชิลิคอน ดังรูปที่ 2.2 ที่ประมาณชิลิคอนร้อยละ 5.0-7.0 โดยน้ำหนัก จะมี จุดหลอมเหลวอยู่ที่ประมาณ 618-642 องศาเซลเซียส อะลูมิเนียมผสมชนิดนี้เมื่ออยู่ในสภาวะ หลอมเหลวจะสามารถหลอมได้ตั้งแต่ 660 °C ลงมา แต่ในขณะแข็งตัวไม่เกิดรอยแตกได้ง่าย



รูปที่ 2.2 เฟสไดอะแกรมของอะลูมิเนียม-ชิลิคอน

ที่มา: รศ.ดร.เชาวลิต (2511)

2.8 มาตรฐานของเหล็กกล้าคาร์บอนตัว

ซึ่งในโครงงานใช้แม่พิมพ์เหล็กกล้าคาร์บอนตัวในการหล่ออะลูมิเนียมผสม เอชี 2 เอ โดยเป็น เหล็กกล้ามาตรฐานเยอรมัน (Deutsch Institute Norms ; DIN) DIN 16114 เป็นเหล็กกล้าเกรด ST24 โดยมีค่าความต้านทานแรงดึงตัวสุด 24 กิโลกรัมต่อมิลลิเมตรกำลังสอง โดยจะเรียกว่า เหล็กกล้าคาร์บอนตัว ซึ่งมีองค์ประกอบทางเคมี แสดงดังตารางที่ 2.2 (ดิสยากรุ, 2556)

ตารางที่ 2.2 องค์ประกอบทางเคมีของเหล็กกล้าคาร์บอนตัว (ร้อยละโดยน้ำหนักโดยประมาณ)

ธาตุ (Element)	ร้อยละโดยน้ำหนัก (Percent by Weight)
คาร์บอน (C)	0.08
แมงกานีส (Mn)	0.04
ชิลิคอน (Si)	0.03
ฟอฟอรัส (P)	0.025
ซัลเฟอร์ (S)	0.025
อะลูมิเนียม (Al)	0.02
ไนโตรเจน (N)	0.007
เหล็ก (Fe)	Balance

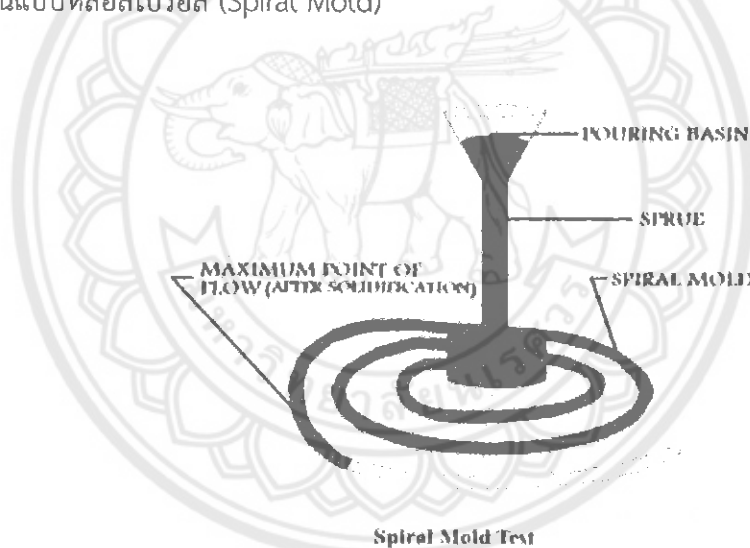
2.9 การทดสอบความสามารถในการไหล (Fluidity Test)

ความสามารถในการไหลเป็นการทดสอบความสามารถของโลหะหลอมเหลวที่สามารถไหลเข้าสู่แบบหล่อได้ดีหรือไม่ดีก่อนที่โลหะหลอมเหลวจะเกิดการแข็งตัว การทดสอบความสามารถในการไหลสามารถทดสอบได้หลายวิธี โดยในโครงงานนี้จะแบ่งแบบหล่อออกเป็น 3 ประเภท ดังนี้

2.9.1 ประเภทของแบบหล่อ (Type of Mold)

2.9.1.1 แบบสไปรอล (Spiral Mold)

การทดสอบแบบสไปรอล (Spiral Test) แสดงดังรูปที่ 2.3 ลักษณะของแบบหล่อที่ใช้ทดสอบจะมีรูปร่างเป็นเกลียวชุด เมื่อโลหะหลอมเหลวถูกเทลงแล้วรูเทจะวิ่งเข้าสู่แบบหล่อ และจะวิ่งไปจนกว่าจะเกิดการแข็งตัว ระยะทางที่วิ่งได้หรือไหลไปได้จะบ่งบอกถึงความสามารถในการไหลของโลหะหลอมเหลว โลหะหลอมเหลวที่มีความสามารถในการไหลสูงจะไหลได้เป็นระยะทางไกลกว่าโลหะหลอมเหลวที่มีความสามารถในการไหลต่ำ ความสามารถในการไหลจากการทดสอบนี้จะระบุเป็นดัชนีความสามารถในการไหล (Fluidity Index) ซึ่งหมายถึง ความยาวของโลหะหลอมเหลวที่ไหลไปได้ในแบบหล่อสไปรอล (Spiral Mold)

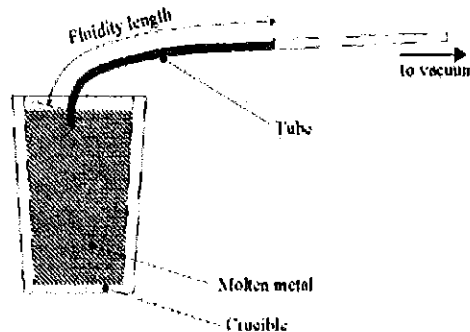


รูปที่ 2.3 การทดสอบความสามารถในการไหลโดยใช้แบบสไปรอล (Spiral Test)

ที่มา: Kalpakjian S. and Schmid S.R. (2549)

2.9.1.2 แบบสูญญากาศ (Vacuum Mold)

การทดสอบนี้วัดความสามารถของการไหลของโลหะหลอมเหลวภายในช่องทางวิ่งของโลหะหลอมเหลว เมื่อโลหะหลอมเหลวถูกดูดจากเบาหลอมโดยใช้ปั๊มสูญญากาศ ความเร็วในการทดสอบจะคงที่จนกว่าแรงโน้มถ่วง และความดันจะเท่ากัน แสดงดังรูปที่ 2.4

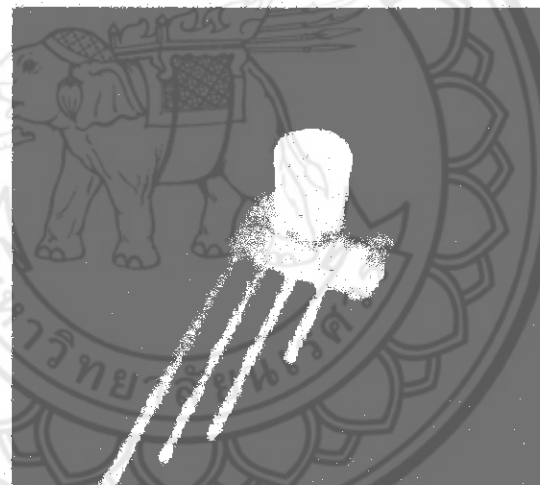


รูปที่ 2.4 การทดสอบความสามารถในการหล่อโดยใช้แบบสุญญากาศ (Vacuum Test)

ที่มา: F. Bonollo (2552)

2.9.1.3 แบบช่อง (Strip Mold)

การทดสอบนี้จะใช้แบบหล่อที่มีลักษณะเป็นช่องขนาดเล็ก ความยาวของแต่ละช่องจะมีขนาดเท่ากันแต่จะมีพื้นที่หน้าตัดต่างกัน และความยาวของแต่ละช่องจะไม่เท่ากันแบบหล่อนี้ต้องวางอยู่บนแผ่นทำความร้อนเพื่อให้ความร้อนกับแบบหล่อ แสดงดังรูปที่ 2.5



รูปที่ 2.5 การทดสอบความสามารถในการหล่อโดยใช้แบบช่อง (Strip Test)

ที่มา: M. Di Sabatino (2549)

2.9.2 การตรวจสอบตั้งนีกการหล่อ (Measurement Fluidity Index)

หลังจากทำการหล่อเสร็จปัจจุบันให้เย็นตัวในอากาศแล้วแกะชิ้นงานนำมาวัดด้วยสายวัดพลาสติก (Measuring Tape) ใช้ในการตรวจสอบตั้งนีกการหล่อของโลหะหลอมเหลว โดยใช้วัดความยาวของโลหะหลอมเหลวที่หล่อไปได้ในแบบหล่อสpiral (Spiral Mold) หน่วยที่ใช้วัดเป็นมิลลิเมตร

2.10 องค์ประกอบที่มีอิทธิพลต่อการไหล (Element of Fluidity)

อะลูมิเนียมผสมที่มีชิลลิคอนผสมอยู่ด้วยจะทำให้ความสามารถในการไหลตัว (Flow Ability) ได้ดีขึ้น การไหลของโลหะหลอมเหลวจะสามารถไหลได้มากน้อยเพียงใดนั้น ขึ้นอยู่กับองค์ประกอบที่มีอิทธิพลต่อความสามารถในการไหล ดังต่อไปนี้

2.10.1 ความตึงผิว (Surface Tension)

ความตึงผิว คือ แรงที่เกิดขึ้นบริเวณที่ผิวของเหลวสัมผัสกับขอบเหลวอื่นหรือกับผิวของแข็งโดยมีพลังงานเพียงพอต่อการยืดเหยียบระหว่างโมเลกุล ซึ่งมีขนาดสัมพันธ์กับแรงยึดติด และแรงเข้ามแน่นทำให้เกิดเป็นลักษณะคล้ายกับแผ่นบางๆ ที่สามารถต้านแรงดึงได้เล็กน้อย มีพิเศษทางขนานกับผิวของของเหลว และตั้งฉากกับเส้นขอบที่ของของเหลวสัมผัส โดยความตึงผิวของของเหลว ขึ้นอยู่กับอุณหภูมิตัวย เมื่ออุณหภูมิเพิ่มขึ้นพลังงานที่ยึดเหยียบระหว่างโมเลกุลจะลดลง ทำให้ความตึงผิวของของเหลวจะมีค่าลดลง ส่งผลให้ดีขึ้นในการไหลของโลหะหลอมเหลวสูงขึ้น (เกียรติศักดิ์, 2556)

2.10.2 ความหนืด (Viscosity)

ความหนืด คือ ความสามารถในการต้านทานการไหลของเหลว เมื่อแรงม้ากระทำ (ของไหล หมายถึง สารที่สามารถไหลได้ เช่น ก๊าซ และของเหลว) ของไหลที่มีความหนืดสูงจะมีค่าความต้านทานต่อการไหลสูงส่งผลให้ความสามารถในการไหลต่ำ ของไหลที่มีความหนืดต่ำจะมีค่าความต้านทานต่อการไหลต่ำส่งผลให้ความสามารถในการไหลสูง ความต้านทานต่อการไหลซึ่งจะมีความไวอย่างมากต่อการเปลี่ยนแปลงของอุณหภูมิ เมื่ออุณหภูมิเพิ่มขึ้นความหนืดจะมีค่าลดลง ทำให้ความสามารถในการไหลของโลหะหลอมเหลวสูงขึ้น (เพพนารินทร์, 2537)

2.10.3 อุณหภูมิเท (Pouring Temperature)

อุณหภูมิเทหมายถึงอุณหภูมิเริ่มต้นของโลหะหลอมเหลวที่ใช้สำหรับการหล่อขณะที่เหลงในแม่พิมพ์ อุณหภูมนี้จะสูงกว่าอุณหภูมิแข็งตัวของโลหะ ความแตกต่างระหว่างอุณหภูมิแข็งตัว (Solidification Temperature) และอุณหภูมิในการเทของโลหะ เรียกว่าดีกรีซูเปอร์ชีท (Degree of Superheat) ถ้าดีกรีซูเปอร์ชีทมีค่ามากส่งผลให้ความสามารถในการไหลของโลหะหลอมเหลวสูงขึ้น (Kalpakjian S., 2549)

2.10.4 อัตราการเทโลหะหลอมเหลว (Pouring Rate)

อัตราการเทโลหะหลอมเหลว คือ การเนื้าโลหะหลอมเหลวอย่างต่อเนื่องลงสู่พろงแบบหรือลงสู่แบบหล่อ การเทโลหะหลอมเหลวลงสู่แม่พิมพ์เร็วจะทำให้ความสามารถในการตันโลหะหลอมเหลวเข้าสู่แม่พิมพ์ได้เร็วกว่าการเทแบบช้า ส่งผลให้โลหะหลอมเหลวไหลได้ดีกว่าอัตราการเทที่ช้ากว่า (เพพนารินทร์, 2537)

2.10.5 ความร้อนจำเพาะ (Specific Heat)

ความร้อนจำเพาะ คือ ความร้อนที่ทำให้สารมวลก็เล็กร้อนมีอุณหภูมิเพิ่มขึ้น 1 เคลวิน เป็นสมบัติเฉพาะของสาร ถ้าหากวัตถุมีการเปลี่ยนจากสถานะหนึ่งไปยังอีกสถานะหนึ่ง ค่าความร้อน-

จำเพาะของวัตถุนั้นในสถานะของแข็ง จะมีค่าประมาณครึ่งหนึ่งของวัตถุเดียวกันในสภาพของเหลว (สายน้ำ, 2559)

2.10.6 สัมประสิทธิ์การถ่ายเทความร้อน (Heat Transfer Coefficient)

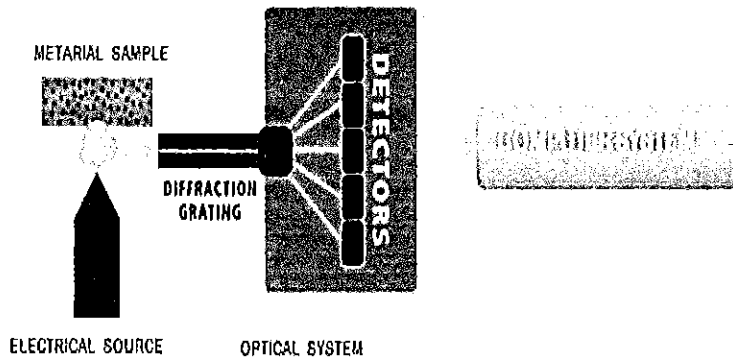
ความสามารถในการถ่ายเทความร้อนของแบบหล่อ คือ การแพร่ความร้อนจากบริเวณที่มีอุณหภูมิสูงไปยังบริเวณที่มีอุณหภูมิต่ำ ซึ่งหากแม่พิมพ์มีอุณหภูมิที่ต่ำจะทำให้ความสามารถในการถ่ายเทความร้อนมีค่าสูงหรือการถ่ายเทความร้อนดี แต่ถ้าแม่พิมพ์มีอุณหภูมิที่สูงจะทำให้ความสามารถในการถ่ายเทความร้อนมีค่าต่ำ ซึ่งความสามารถในการถ่ายเทความร้อนนั้นขึ้นอยู่กับชนิดของวัสดุที่ใช้ทำแบบหล่อ การใช้วัสดุทำแบบหล่อต่างกันทำให้ส่งผลต่อดัชนีการไหลของโลหะหลอมเหลว (อิทธิพล, 2544)

2.11 อุปกรณ์ และเครื่องมือที่ใช้ในการทดสอบ

2.11.1 เครื่องมือที่ใช้ในการวิเคราะห์องค์ประกอบทางเคมี การเปลี่ยนแปลงทางความร้อน และสมบัติทางความร้อน

2.11.1.1 เครื่องวิเคราะห์องค์ประกอบทางเคมี (Optical Emission Spectrometer ; OES)

เป็นเครื่องตรวจวิเคราะห์หาองค์ประกอบทางเคมี ที่ใช้อิเล็กโทรดในการสปาร์ค และทำการวัดพลังงานที่ถูกปล่อยออกมากซึ่งจะใช้สเปกตรومิเตอร์เป็นตัวแยก ซึ่งรاثุแต่ละชนิดก็จะมีสเปคตั้งที่แตกต่างกัน โดยหลักการการทำงานจะประกอบไปด้วย 3 ส่วนสำคัญ คือ Electrical Source, Optical System และ Computer System ดังแสดงในรูปที่ 2.6 ซึ่งใช้หลักการที่ว่าเมื่อโลหะตัวอย่าง (Metallic Sample) ถูกให้ความร้อนจนมีอุณหภูมิสูงโดยการใช้อิเล็กโทรดในการอาร์คหรือสปาร์ค ทำให้อิเล็กตรอนที่อยู่ในสถานะพื้น (Ground State) นั้นจะไปสู่สถานะกระตุ้น (Exited State) ในช่วงระยะเวลาสั้นๆ หลังจากนั้นแสงที่เกิดจากการคายพลังงาน (Emission) ของส่วนนั้นก็จะเคลื่อนที่ผ่านเข้าไปในสเปกตรومิเตอร์ (Spectrometer) และเกิดการแยกตามความยาวคลื่นต่างๆ กัน ซึ่งขึ้นอยู่กับสมบัติเฉพาะของธาตุแล้วถูกตรวจวัดให้สอดคล้องกับความเข้มข้น (Intensity) ของแสงสำหรับแต่ละความยาวคลื่นซึ่งจะถูกแสดงผลออกมาผ่านหน้าจอแสดงผลโดยการวัดความเข้มข้นเป็นการวัดสัดส่วนองค์ประกอบของธาตุในตัวอย่าง (สมชัย, 2559)



รูปที่ 2.6 องค์ประกอบของเครื่องวิเคราะห์องค์ประกอบทางเคมี (Optical Emission Spectrometer)

ที่มา: สมชัย (2559)

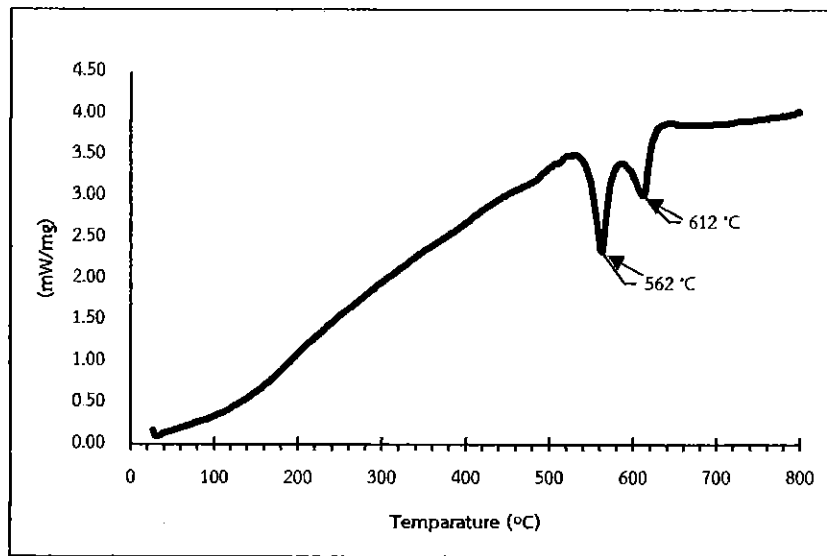
2.11.1.2 เครื่องวิเคราะห์การเปลี่ยนแปลงทางความร้อน (Thermal Conductivity Analysis ; TCA)

เครื่องการวิเคราะห์การนำความร้อน หรือ TCA เป็นเทคนิคที่ใช้วัดสมบัติการนำความร้อนของวัสดุ ด้วยการทดสอบ ได้แก่ ค่าสัมประสิทธิ์การนำความร้อน (Thermal Conductivity) ค่าความร้อนจำเพาะ (Specific Heat) และค่าการแพร่ความร้อน (Thermal Diffusivity) (ศิริพร, 2557)

2.11.1.3 เครื่องวิเคราะห์สมบัติทางความร้อน (Differential Scanning Calorimeter ; DSC)

เครื่องวิเคราะห์สมบัติทางความร้อน หรือ DSC เป็นเทคนิคที่ใช้วิเคราะห์ทดสอบโดยวัดเป็นค่าพลังงานที่เปลี่ยนแปลงไปซึ่งเป็นผลมาจากการดูดหรือปล่อยพลังงานขณะที่อุณหภูมิสูงขึ้น (Endothermic or Exothermic Processes) กระบวนการนี้เกิดจากการเปลี่ยนสถานะของสาร เช่น การเปลี่ยนสถานะจากของแข็งไปเป็นของเหลวจะต้องมีการดูดพลังงานเข้าไปเพื่อสร้างพันธะ เรียกว่าปฏิกิริยาดูดความร้อน (Endothermic) ในทางกลับกันเมื่อมีการเปลี่ยนสถานะจากของเหลวไปเป็นของแข็งจะมีการปล่อยพลังงานเพื่อสร้างพันธะเรียกว่าปฏิกิริยาดูดความร้อน (Exothermic) ทำให้อุณหภูมิของตัวอย่าง และสารมาตราฐาน (References) แตกต่างกันโดยพื้นที่ได้กราฟที่เกิดขึ้นจะมีความสัมพันธ์โดยตรงกับการเปลี่ยนแปลงพลังงานของตัวอย่าง ในการวิเคราะห์ตัวอย่าง ตัวอย่างจะถูกวางบนฐานอะลูมิเนียมที่อยู่ภายใต้เตาที่ควบคุมอุณหภูมิ โดยภายในเตาจะมีสารอ้างอิงซึ่งเป็นฐานอะลูมิเนียมเปล่า เพื่อใช้เป็นตัวเปรียบที่ยับกับตัวอย่างภายในเตาเพื่อให้สภาวะเดียวกัน(อุสма, 2559)

จากราฟรูปที่ 2.7 เป็นตัวอย่างการทดสอบจากเครื่องวิเคราะห์สมบัติทางความร้อน (Differential Scanning Calorimeter) จะพบพื้นที่ 2 จุด ณ อุณหภูมิต่างกัน



รูปที่ 2.7 ผลจากเครื่องวิเคราะห์สมบัติทางความร้อน (Differential Scanning Calorimeter) ของอะลูมิเนียม เอช 2 เอ

2.11.2 เครื่องมือที่ใช้วัดอุณหภูมิ

เทอร์โมคัปเปิล (Thermocouple) คืออุปกรณ์วัดอุณหภูมิโดยใช้หลักการเปลี่ยนแปลง อุณหภูมิ โดยอาศัยความแตกต่างของอุณหภูมิในการสร้างแรงคลื่อนไฟฟ้าขึ้นการที่แรงคลื่อนไฟฟ้า ค่าหนึ่งจะอ้างอิงเป็นอุณหภูมิค่าหนึ่งได้ แสดงว่าความแตกต่างของอุณหภูมิที่เกิดขึ้นนั้นจะต้องอ้างอิง กับอุณหภูมิค่าคงที่ค่าหนึ่งเสมอโดยให้เป็น 0 องศาเซลเซียส เพื่อให้การวัดอุณหภูมิเกิด แรงคลื่อนไฟฟ้าที่เป็นมาตรฐานเดียวกัน และกำหนดเป็นตารางมาตรฐานแสดงค่าอุณหภูมิเทียบกับ แรงคลื่อนไฟฟ้าที่วัดได้ แต่โดยทั่วไป เทอร์โมคัปเปิลจะทำการวัดที่อุณหภูมิห้อง (เช่น 25 องศาเซลเซียส) นั้นคือไม่ได้เทียบกับ 0 องศาเซลเซียส แสดงว่าค่าแรงคลื่อนไฟฟ้าที่ได้ยังไม่ถูกต้อง หากนำไปอ่านค่าอุณหภูมิจากตารางมาตรฐานจะผิดพลาด จึงจำเป็นต้องมีการรักษาอุณหภูมิอ้างอิง เพื่อให้การวัดอุณหภูมิเทียบกับ 0 องศาเซลเซียส ตลอดเวลา

2.12 งานวิจัยที่เกี่ยวข้อง

ปัญช มีธรรม และชาคริต สุวรรณจำรัส (2557) ได้ทำการวิจัยเกี่ยวกับแบบจำลองการหล่อ แม่พิมพ์ความดันสูงกับปั๊มจ่ายที่ส่งผลต่อการเกิดรูพรุนภายในชิ้นงาน ซึ่งปัญหาข้อบกพร่องที่มี ความสำคัญเป็นอย่างมากในกระบวนการหล่อแม่พิมพ์ความดันสูง (High Pressure Die Casting) คือ ปัญหารูพรุน (Porosities) ซึ่งเกิดจากฟองอากาศที่มีขนาดเล็กไปจนถึงขนาดใหญ่ถูกกักเก็บไว้ในเนื้อ ของชิ้นงาน ส่งผลให้ความแข็งแรงของชิ้นงานลดลง ปริมาณของรูพรุนภายในชิ้นงานเป็นผล เนื่องมาจากการตักกําช (Gas Entrapment) ซึ่งเกิดขึ้นขณะมีการไหลของโลหะหลอมเหลวเข้าสู่ เบ้าแม่พิมพ์ งานวิจัยนี้ได้ทำการศึกษาตัวแปรที่มีผลต่อการเกิดรูพรุนภายในชิ้นงาน ได้แก่ ความเร็วในการฉีดโลหะหลอมเหลว มุมการไหล และอุณหภูมิของโลหะหลอมเหลว ที่เกิดขึ้นกับชิ้นงานรูปทรง

มาตรฐานซึ่งมีทางเข้าแบบใบพัด (Fan Gate) โดยการใช้ซอฟต์แวร์ (Cast-Designer) จำลองการหล่อ และนาเปอร์เซ็นต์ของการเกิดรูพรุนภายในชิ้นงานเปรียบเทียบกับผลการคำนวณด้วยสมการการหารูพรุนในทางทฤษฎี เพื่อกำหนดเงื่อนไขการอกรอบแบบแม่พิมพ์ที่มีความเหมาะสมของ การลดการเกิดรูพรุนภายในชิ้นงาน และเป็นแนวทางในการอกรอบแบบแม่พิมพ์ที่ดีได้ต่อไป

Mohan Krishna และ G. S. Reddy (2014) ศึกษาผลกระทบจากอุณหภูมิเทต่อการไหลของอะลูมิเนียมผสม 47100 และ 51300 ที่มีการไหล (Fluidity) ได้ดีกว่าโลหะผสมชนิด CMSX4 (Superalloy) อุณหภูมิในการหลอมเหลวถูกปรับให้เหมาะสมเพื่อให้ได้รูปหัวหางของเดนไทร์ต (Dendritic) ที่ดีขึ้น โดยจะใช้แม่พิมพ์แบบสไปรอล (Spiral Mold) ในการทดสอบการไหล ของโลหะหลอมเหลว ในการหล่อจะใช้ Superheats ที่ 25, 50 และ 100 องศาเซลเซียส โดยใช้โปรแกรมช่วยในการจำลอง (Simulation) จากผลการทดลอง พบว่าเมื่ออุณหภูมิเที่สูงขึ้นส่งผลให้โลหะหลอมเหลวไหลได้ดีขึ้น

มงคล แก้วพัฒน์ (2555) ได้ทำการวิเคราะห์สาเหตุการเกิดข้อพร่องในงานหล่ออะลูมิเนียม-ผสม กรณีเกิดการรั่วบริเวณใต้รูเกลี่ยของคาร์บูโรเตอร์ในชิ้นส่วนยานยนต์ที่ผลิตด้วยกระบวนการฉีดขึ้นรูปแรงดันต่ำ และเพื่อหาแนวทางลดจำนวนชิ้นงานที่เกิดข้อบกพร่อง ด้วยการวิเคราะห์ทางโลหะวิทยา และการใช้ซอฟต์แวร์จำลองกระบวนการหล่อขึ้นรูปชิ้นงาน ซึ่งมีสภาวะการหล่อขึ้นรูปดังนี้ คืออุณหภูมิเทโลหะหลอมเหลวที่ 760 องศาเซลเซียส อุณหภูมิแม่พิมพ์โลหะที่ 350 องศาเซลเซียส จากการวิเคราะห์ปัจจัยที่ทำให้เกิดข้อบกพร่องจากแผ่นภูมิกังปลา และตรวจสอบชิ้นงานด้วยกล้องจุลทรรศน์อิเล็กตรอนแบบส่องกราด พบว่า ปัจจัยหลักที่อาจเป็นสาเหตุของการเกิดรูพรุนได้แก่ อุณหภูมิแม่พิมพ์โลหะ อุณหภูมิเทโลหะหลอมเหลว และการอกรอบแบบแม่พิมพ์โลหะทั้งนี้จึงสร้างแบบจำลองโดยศึกษาการเปลี่ยนแปลงสภาวะการหล่อตั้งนี้ คือ อุณหภูมิแม่พิมพ์โลหะที่ 300, 350, 400, 450 และ 480 องศาเซลเซียส อุณหภูมิเทโลหะหลอมเหลวที่ 680, 720, 730, 740 และ 780 องศาเซลเซียส และแก้ไขแม่พิมพ์โลหะโดยการเพิ่มทางเดินโลหะหลอมเหลวที่มีขนาดพื้นที่หน้าตัด 10×10 , 15×15 และ 20×20 ตารางเซนติเมตร จากผลการจำลองพบว่า เมื่อทางเดินโลหะหลอมเหลว มีขนาดเพิ่มขึ้น ทำให้ปริมาณรูพรุนในชิ้นงานลดลง แต่การที่แม่พิมพ์โลหะมีทางเดินโลหะหลอมเหลวขนาดใหญ่เกินไป ก็จะสูญเสียรัตตุคิติในการผลิตมากเกินไป ดังนั้นจึงเลือกทำการแก้ไขแม่พิมพ์โลหะให้มีทางเดินน้ำโลหะขนาด 15×15 ตารางเซนติเมตร โดยไม่เปลี่ยนแปลงอุณหภูมิเทโลหะหลอมเหลว และอุณหภูมิของแม่พิมพ์โลหะ จากนั้นทำการหล่อขึ้นส่วนจำนวน 188 ชิ้น ผลการตรวจสอบจำนวนชิ้นงานที่มีข้อบกพร่องจากการขั้นตอนทดสอบการร้าว เปรียบเทียบชิ้นงานหล่อก่อนและหลังการแก้ไข แม่พิมพ์โลหะร่วมกับการตรวจสอบโครงสร้างจุลภาคด้วยกล้องจุลทรรศน์แบบแสง และการวิเคราะห์ปริมาณรูพรุนด้วยโปรแกรมวิเคราะห์ภาพ พบว่า เมื่อทำการแก้ไขแม่พิมพ์โลหะ จำนวนชิ้นงานที่เกิดข้อบกพร่องลดลงจากร้อยละ 4.92 เหลือร้อยละ 0.53 ส่วนรูพรุนที่เกิดขึ้นในชิ้นงานหลังจากแก้ไข แม่พิมพ์โลหะก็มีขนาดเล็กและมีจำนวนลดลง

อภิรักษ์ โภสิตานนท์ และคณะ (2554) งานวิจัยนี้เพื่อศึกษาพัฒนาระบบการหล่อโลหะหลอมเหลวสังกะสีผสมในกระบวนการหล่อแบบหมุนเหวี่ยงชิ้นงานที่ศึกษามีลักษณะเป็นผิวโค้งทรงครึ่งท่อกลวง ออกแบบให้มีทางเข้าอยู่ในตำแหน่งที่ควรจะเป็นแตกต่างกัน 3 แบบ จากผลการทดลองพบว่า การหล่อของโลหะหลอมเหลวมีทิศทางตรงกันข้ามกับทิศการหมุนของแม่พิมพ์ ผลของตำแหน่งทางเข้าที่แตกต่างกัน ส่งผลต่อการเกิดข้อบกพร่องที่แตกต่างกันของชิ้นงาน ซึ่งสามารถอธิบายได้จากพัฒนาระบบการหล่อที่เกิดขึ้น โดยใช้โปรแกรมคอมพิวเตอร์จำลองกระบวนการหล่อด้วยระเบียบไฟฟ้าเนตเวลล์ เมนต์ สรุปได้ว่าตำแหน่งทางเข้าของการหล่อชิ้นงานผิวโค้งทรงครึ่งท่อกลวงที่ดีที่สุด คือออกแบบให้มีทิศทางการหล่อเข้าของโลหะหลอมเหลวเข้าส่วนตามความหนาของผิวโค้งซึ่งจะให้คุณภาพผิวที่ดีที่สุด และหล่อได้เต็มแบบที่สุด เมื่อเปรียบเทียบผลที่ได้จากการจำลองพัฒนาระบบด้วยโปรแกรมคอมพิวเตอร์ และวิธีการทดลองพบว่าทั้งสองวิธีมีผลการทดลองสอดคล้องกันทั้งในด้านลักษณะการหล่อและทิศทางการหล่อของโลหะหลอมเหลว

เอกชัย กิจแก้วทวีเสรีฐ์ และคณะ (2554) ได้ทำการศึกษา และแก้ไขกระบวนการหล่อความดันสูง (High Pressure Die Casting ; HPDC) ปัญหาข้อบกพร่องประเกทไฟร่องอากาศ (Gas Porosity Defects) และข้อบกพร่องประเกทที่เกิดขึ้นที่ผิวชิ้นงาน (Surface Defects) เป็นลักษณะข้อบกพร่องที่เกิดขึ้นอย่างแพร่หลาย เช่นทางการหล่อของโลหะเหลว (Flow Path) เป็นปัจจัยหลักอันหนึ่งที่มีผลโดยตรงต่อการเกิดข้อบกพร่องทั้งสองประเกท เพื่อป้องกันปัญหาข้อบกพร่องดังกล่าว เมื่อทำการออกแบบระบบทางเดินโลหะหลอมเหลว (Gating System) วิศวกรจะต้องออกแบบให้เส้นทางการหล่อของโลหะเหลวมีลักษณะการหล่อที่เป็นระนาบ (Distributed Flow) จากทางเข้าโลหะหลอมเหลวไปยังรูน (Overflow) โดยทั่วไปแล้วเส้นทางการหล่อของโลหะเหลวจะถูกควบคุมโดยตำแหน่งของทางเข้า และชนิดของทางเข้าที่ใช้เป็นแบบใบพัด (Fan Gate) เป็นทางเดินของโลหะเหลวที่นิยมใช้กับแม่พิมพ์ในการกระบวนการหล่อความดันสูง โดยยึดหลักมวลการไหลคงที่ (Mass Flow Rate Conservation) ตัวแปรในการออกแบบทางเข้าแบบใบพัด (Fan Gate) ประกอบไปด้วยมุมการหล่อ และอัตราส่วนของพื้นที่หน้าตัดของทางวิ่งโลหะหลอมเหลวต่อพื้นที่หน้าตัดของทางเข้าโลหะหลอมเหลว งานวิจัยนี้จะทำการศึกษาถึงอิทธิพลของตัวแปรที่ก่อตัวข้างต้นของทางเข้าแบบใบพัดที่มีผลต่อพัฒนาระบบการหล่อของโลหะเหลว โดยใช้โปรแกรมจำลองกระบวนการหล่อ (Casting Process Simulation) ความเข้าใจถึงอิทธิพลของตัวแปรเหล่านี้จะนำมาประยุกต์ใช้ในการออกแบบระบบทางเดินโลหะเหลว ที่ใช้ในการผลิตชิ้นงานในอุตสาหกรรม เพื่อช่วยลดปริมาณของเสียที่เกิดขึ้น นอกจากนี้ยังพบว่าการออกแบบระบบทางเดินโลหะเหลว โดยใช้หลักการออกแบบที่ถูกต้องยังช่วยทำให้น้ำหนักของชิ้นงานหล่อเทียบกับน้ำหนักที่ต้องได้ (Shot Weight) ต่อน้ำหนักชิ้นงาน (Casting Yield) มีค่าสูงขึ้นส่งผลให้ลดการใช้วัตถุดิบ และพลังงานในการผลิตลงทำให้มีต้นทุนในการผลิตที่ลดลง

เข็มศักดิ์ อรัญมาดา และคณะ (2547) ได้นำเอาโปรแกรมทางคอมพิวเตอร์มาช่วยจำลองงานหล่อ และทำการวิเคราะห์ล่วงหน้าของการออกแบบหรือเห็นผลการจำลอง (Simulation) ต่าง ๆ ของ

การผลิตส่วนหน้า ทำให้ได้รูปทรงจุดบกพร่องที่ควรแก้ไขทั้งในด้านการออกแบบ และค่าตัวแปร (Parameter) ที่ได้กำหนดหรือป้อนใส่เข้าในโปรแกรมก่อนทำการวิเคราะห์ในโปรแกรมการจำลอง หรือวิเคราะห์สามารถที่เปลี่ยนแปลงค่าตัวแปร (Parameter) ที่มีอิทธิพลต่อการออกแบบในขั้นตอนต่างๆ ได้โดยง่าย และไม่เกิดการเสียหายกับงานแต่ละการได การใช้โปรแกรมช่วยวิเคราะห์เป็นการช่วยลดต้นทุน กล่าวได้ว่าเป็นการเพิ่มคุณภาพของชิ้นงาน ช่วยวิเคราะห์หาสาเหตุข้อบกพร่องของการออกแบบ ตัวล็อกคลูกบิด (Locking Knob) ที่เกิดปัญหาเกี่ยวโพรงอากาศ (Porosity) การหดตัว (Shrinkage) และปัญหาเกี่ยวกับผิวอันเนื่องมาจากการเส้นทางการไหล (Flow Line) เมื่อทำการวิเคราะห์ เปื้องต้นแล้วสิ่งที่ต้องแก้ไขคือ ต้องทำการแก้ไขที่ส่วนควบคุมการไหลของอะลูминเนียมหลอมเหลวของแม่พิมพ์ นั่นก็คือ ทางเข้าโลหะหลอมเหลว (Gate) และทางวิ่งของโลหะหลอมเหลว (Runner) นั่นเอง จากการแก้ไขชิ้นงานที่เกิดปัญหาด้วยเทคนิคการจำลอง ซึ่งเป็นการจำลองพฤติกรรมทางฟิสิกส์การไหลของอะลูминเนียมหลอมเหลว ได้ผลสำหรับการแก้ไขปัญหาที่ได้จากการจำลองการฉีดอะลูминเนียม ประโยชน์ของการใช้เทคนิคการจำลองที่เห็นได้ชัดคือ ลดเวลาจากการแก้ไขด้วยวิธีการเดิมได้ถึงร้อยละ 80-90 ลดค่าใช้จ่าย ลดการสูญเสียวัสดุโดยไม่จำเป็นการแก้ไขจุดบกพร่องทำได้ง่ายเมื่อได้ผลสรุปที่ดีที่สุดแล้วจึงนำค่าตัวแปร (Parameter) นั้นมาแก้ไขที่แม่พิมพ์ และการใช้เทคนิคการจำลองการฉีดอะลูминเนียมยังเป็นการเพิ่มประสิทธิภาพในการผลิตแม่พิมพ์อีกด้วย



บทที่ 3

วิธีการดำเนินโครงการ

3.1 ขั้นตอน และระเบียบวิธีวิจัยที่ใช้ในการดำเนินโครงการ

การศึกษาด้ชนิดของการไฟลของขั้นงานที่ผ่านกระบวนการทดสอบความสามารถในการไฟลโดยใช้แบบทดสอบสปีรอล (Spiral Test) เนื่องจากอุณหภูมิเท และอัตราเทลอะลอมเหลวที่ต่างกัน โดยมีขั้นตอนการดำเนินโครงการ แสดงดังรูปที่ 3.1

3.2 วัสดุ และอุปกรณ์

3.2.1 วัสดุที่ใช้ในการดำเนินโครงการ

3.2.1.1 วัสดุที่ใช้ในการทดลอง คือ อะลูมิเนียมพสม เอช 2 เอ

3.2.1.2 แม่พิมพ์สปีรอล (Spiral Mold) คือ เหล็กกล้าคาร์บอนตัว

3.2.2 อุปกรณ์ที่ใช้ในการดำเนินโครงการ

3.2.2.1 อุปกรณ์ในการดำเนินโครงการ

ก. เตาหลอมโลหะ (Furnace)

ข. แบบหล่อทดสอบแบบสปีรอล (Spiral Mold)

ค. เครื่องกัดซีเอ็นซี (CNC Milling Machine)

ง. เบ้าหลอม (Crucible)

จ. เครื่องเจาะ (Drilling Machine)

ฉ. เทอร์นิคัปเปิล (Thermocouple)

ช. เลื่อยตัดไฟฟ้า (Electric Hacksaw)

ช. มอเตอร์ (Motor)

3.2.2.2 อุปกรณ์ในการวิเคราะห์ผลการดำเนินงาน

สายวัดพลาสติก (Measuring Tape)

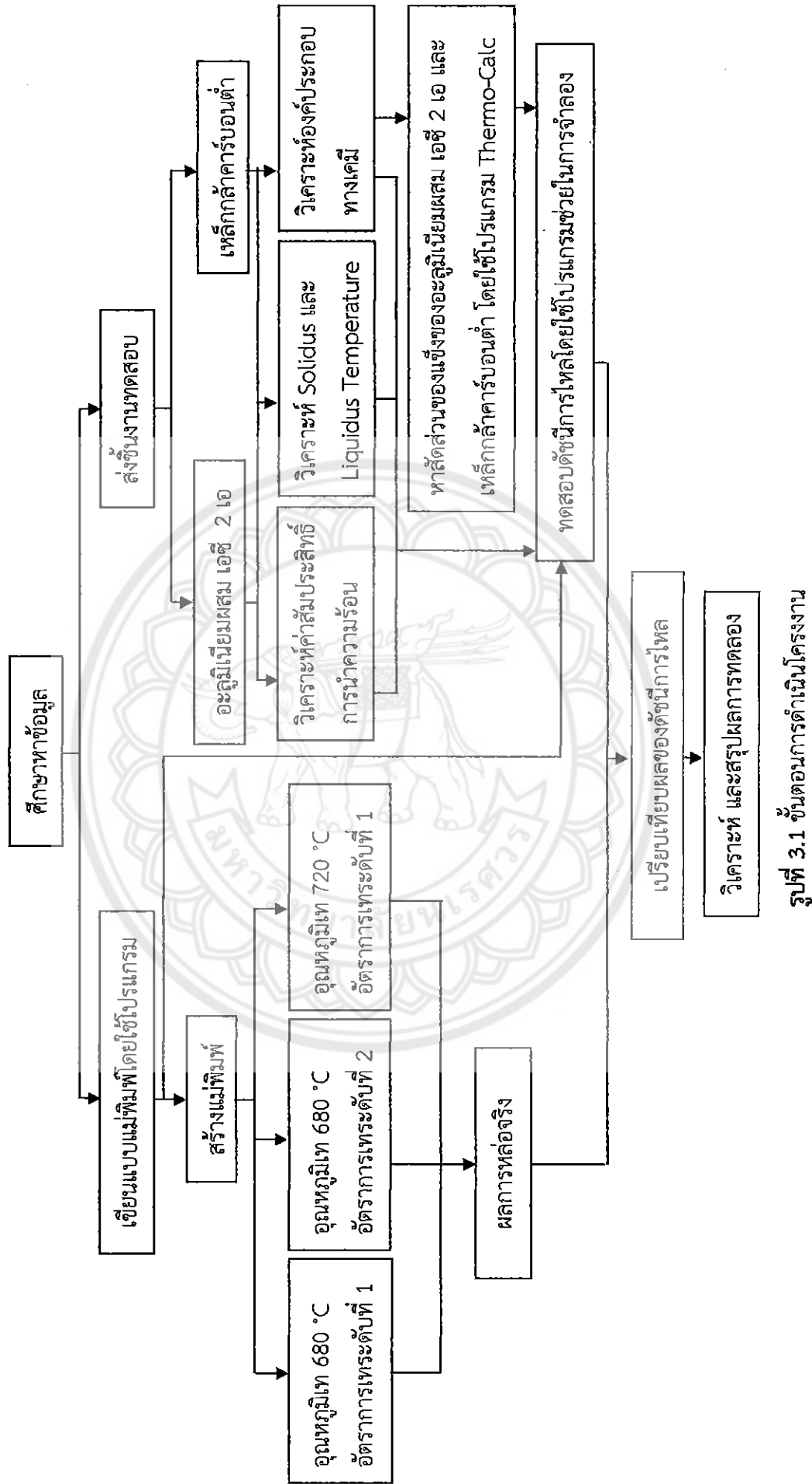
3.2.2.3 เครื่องมือ และโปรแกรมที่ใช้หาค่าตัวแปร (Parameters) ต่างๆ

ก. เครื่องวิเคราะห์องค์ประกอบทางเคมี (Optical Emission Spectrometer)

ข. เครื่องวิเคราะห์การเปลี่ยนแปลงทางความร้อน (Thermal Conductivity Analysis)

ค. เครื่องวิเคราะห์สมบัติทางความร้อน (Differential Scanning Calorimeter)

ง. โปรแกรม Thermo-Calc (DEMO Version)



3.3 ขั้นตอนการดำเนินโครงการ

3.3.1 ขั้นตอนการศึกษาข้อมูล

3.3.1.1 ศึกษาการใช้โปรแกรมช่วยในการจำลอง (ProCAST 2015) และโปรแกรมเขียนแบบ (AutoCAD 2016)

3.3.1.2 ศึกษาการใช้โปรแกรม Thermo-Calc (DEMO Version)

3.3.1.3 ศึกษาความรู้เบื้องต้นเกี่ยวกับอะลูมิเนียมพสม และเหล็กกล้าคาร์บอนต่ำ

3.3.1.4 ศึกษาการใช้เครื่องมือในการทดสอบการวิเคราะห์สมบัติทางความร้อน การเปลี่ยนแปลงทางความร้อน และองค์ประกอบทางเคมี

3.3.1.5 ศึกษาความรู้เบื้องต้นเกี่ยวกับเครื่องกัดซีเอ็นซี (CNC Milling Machine)

3.3.1.6 ศึกษาปัจจัยที่ส่งผลต่อดัชนีการไหล

3.3.1.7 ศึกษาการทดสอบความสามารถในการไหลแบบหล่อสpiral Test

3.3.2 ขั้นตอนการเตรียมงาน

3.3.2.1 นำอะลูมิเนียมพสม เอซี 2 เอ และเหล็กกล้าคาร์บอนต่ำตัดเป็นชิ้นตามขนาดมาตรฐานการทดสอบจำนวนทั้งหมด 7 ชิ้น เพื่อทำการส่งชิ้นงานไปทดสอบหาค่าตัวแปร (Parameters) ต่างๆ ดังนี้

ก. องค์ประกอบทางเคมีของอะลูมิเนียมพสม เอซี 2 เอ และเหล็กกล้าคาร์บอนต่ำ โดยใช้วิเคราะห์องค์ประกอบทางเคมี (Optical Emission Spectrometer) ขนาดมาตรฐานของชิ้นงานที่ใช้ในการทดสอบ คือ $50 \times 50 \times 15$ มิลลิเมตร จำนวน 2 ชิ้น

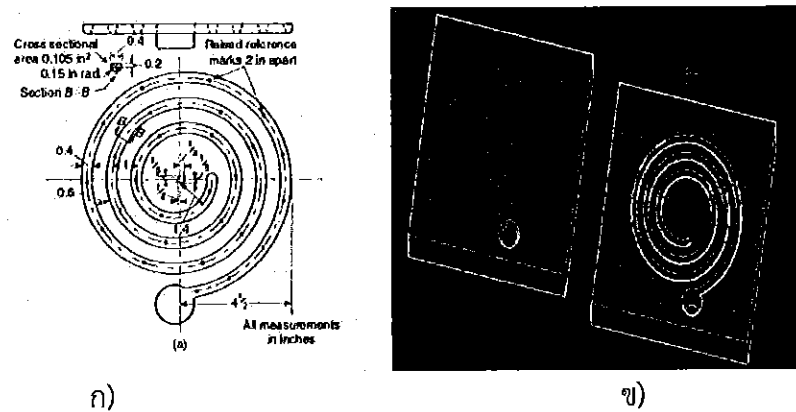
ข. อุณหภูมิของเหลว (Liquidus Temperature) และอุณหภูมิของแข็ง (Solidus Temperature) ของอะลูมิเนียมพสม เอซี 2 เอ โดยใช้เครื่องวิเคราะห์สมบัติทางความร้อน (Differential Scanning Calorimeter) ขนาดมาตรฐานของชิ้นงานที่ใช้ในการทดสอบ โดยมีหน้างาน ประมาณ 1-10 มิลลิกรัม

ค. สัมประสิทธิ์การนำความร้อน (Thermal Conductivity) ค่าความร้อนจำเพาะ (Specific Heat) และค่าการแพร่ความร้อน (Thermal Diffusivity) ของอะลูมิเนียมพสม เอซี 2 เอ และเหล็กกล้าคาร์บอนต่ำ โดยใช้เครื่องวิเคราะห์การเปลี่ยนแปลงทางความร้อน (Thermal Conductivity Analysis) ขนาดมาตรฐานของชิ้นงานที่ใช้ในการทดสอบ คือ $50 \times 50 \times 15$ มิลลิเมตร จำนวน 4 ชิ้น

3.3.2.2 สัดส่วนของแข็ง (Fraction Solid) ของอะลูมิเนียมเอซีพสม 2 เอ และเหล็กกล้าคาร์บอนต่ำ โดยใช้โปรแกรม Thermo-Calc (DEMO version)

3.3.3 ขั้นตอนเขียนแบบแม่พิมพ์ โดยใช้โปรแกรมเขียนแบบ (AutoCAD 2016)

สร้างแม่พิมพ์ซึ่งมีขนาดความยาวชุด 138 มิลลิเมตร และขนาดเส้นผ่านศูนย์กลางครึ่งวงกลม 10 มิลลิเมตร รูเทขนาดเส้นผ่านศูนย์กลาง 25 มิลลิเมตร ความลึก 42 มิลลิเมตร และคงตั้งรูปที่ 3.2 ลงในโปรแกรมเขียนแบบ แล้วทำการบันทึกแบบไว้



(ก)

(ข)

รูปที่ 3.2 แม่พิมพ์แบบสpiral (Spiral Mold)

ก) ขนาดแม่พิมพ์มาตรฐาน

ข) แม่พิมพ์ที่เขียนด้วยโปรแกรมเขียนแบบ (AutoCAD 2016)

3.3.4 ขั้นตอนสร้างแม่พิมพ์ โดยใช้เครื่องกัดซีเอ็นซี (CNC Milling Machine)

นำแบบแม่พิมพ์ที่ได้จากการโปรแกรมเขียนแบบ มาแปลงเป็นโค้ด (G-Code) ดังภาพผนวก ค เพื่อนำโค้ดไปใส่ลงโปรแกรม แล้วทำการสร้างแม่พิมพ์โดยใช้เหล็กกล้าคาร์บอนตัว



รูปที่ 3.3 ขั้นตอนสร้างแม่พิมพ์โดยใช้เครื่องกัดซีเอ็นซี (CNC Milling Machine)

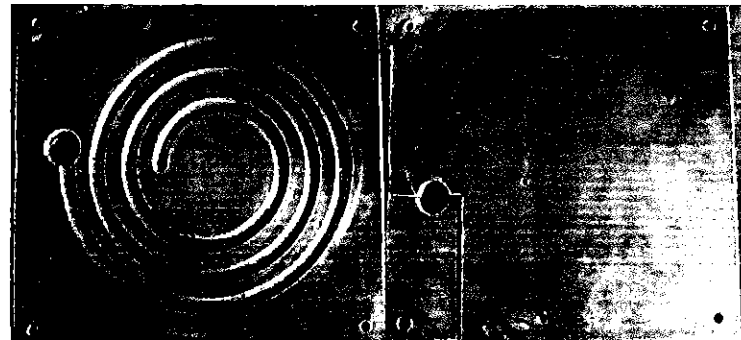
3.3.5 ขั้นตอนการเตรียมวัสดุ-อุปกรณ์ที่ใช้ในการหล่อ

3.3.5.1 การเตรียมวัสดุดิบที่ใช้ในการหล่อ

นำอะลูมิเนียมผสม เอซิ 2 เอ มาตัดเป็นชิ้นขนาดเล็กๆ และเช็คทำความสะอาดให้เรียบร้อยเพื่อเตรียมนำไปทำการหล่อ

3.3.5.2 การเตรียมแม่พิมพ์ (Mold)

แม่พิมพ์ที่ใช้ในการทดสอบความสามารถในการหล่อคือ แบบสpiral (Spiral Test) ซึ่งทำมาจากเหล็กกล้าคาร์บอนตัว และดังรูปที่ 3.4



รูปที่ 3.4 แม่พิมพ์สีประกอบทำจากเหล็กกล้าคาร์บอนต่า

3.3.5.3 การเตรียมเครื่องเทโลหะหลอมเหลว

เครื่องเทจะใช้มอเตอร์เป็นตัวขับเคลื่อนเพื่อปรับอัตราการเทของโลหะหลอมเหลวลงสู่แม่พิมพ์ แสดงดังรูปที่ 3.5



รูปที่ 3.5 เครื่องเทโลหะหลอมเหลว

3.3.6 ขั้นตอนในการหล่อจริง

3.3.6.1 นำอะลูมิเนียมที่ตัดเตรียมไว้มาหลอมจนอยู่ในสถานะของเหลว

3.3.6.2 เทโลหะหลอมเหลวลงสู่แม่พิมพ์ที่เตรียมไว้ แสดงดังตารางที่ 3.1

ตารางที่ 3.1 อุณหภูมิเท และอัตราการเทที่ใช้ในงานหล่อจริง

อุณหภูมิเท (องศาเซลเซียส)	อัตราการเท
680	ระดับที่ 1
680	ระดับที่ 2
720	ระดับที่ 1



17922531

วันที่ ๒๕ พฤษภาคม พ.ศ.๒๕๖๑

รูปที่ 3.6 ขั้นตอนการเทโลหะหลอมเหลวลงสู่แม่พิมพ์

3.3.6.3 ทำการจับเวลาการเทโลหะหลอมเหลวลงสู่แม่พิมพ์ เพื่อหาอัตราการเทของโลหะหลอมเหลว

3.3.6.4 รอให้โลหะหลอมเหลวเย็นตัว และแข็งตัวในแม่พิมพ์

3.3.6.5 แกะชิ้นงานออกจากแม่พิมพ์

3.3.7 ขั้นตอนการตรวจสอบความสามารถในการหล่อ

3.3.7.1 นำชิ้นงานที่ได้จากการผ่านกระบวนการทดสอบแบบสpiral Test ที่ได้จากการหล่อจริงมาวัดความยาว โดยใช้สายวัดพลาสติก (Measuring Tape) เพื่อหาดัชนีความสามารถในการหล่อ

3.3.7.2 บันทึกผล

3.3.8 ขั้นตอนการทดสอบดัชนีการหล่อ โดยใช้โปรแกรมช่วยในการจำลอง (ProCAST 2015)

3.3.8.1 นำแบบแม่พิมพ์ที่ได้จากโปรแกรมเขียนแบบ มาใส่ลงในโปรแกรมช่วยในการจำลอง

3.3.8.2 นำค่าตัวแปร (Parameters) ต่างๆ ที่ได้จากการทดสอบมาป้อนเข้าไปในโปรแกรมช่วยในการจำลอง มีดังนี้

ก. ค่าที่ได้จากการส่งชิ้นงานไปทดสอบ

ก.1 องค์ประกอบทางเคมีของอะลูมิเนียมผสม เอชี 2 เอ และเหล็กกล้า คาร์บอนต่ำ จากเครื่องวิเคราะห์องค์ประกอบทางเคมี (Optical Emission Spectrometer)

ก.2 อุณหภูมิของเหลว (Liquidus Temperature) และอุณหภูมิของแข็ง (Solidus Temperature) ของอะลูมิเนียมผสมเอชี 2 เอ จากเครื่องวิเคราะห์สมบัติทางความร้อน (Differential Scanning Calorimeter)

ก.3 สำหรับการน้ำความร้อนของอะลูมิเนียมผสม เอชี 2 เอ และเหล็กกล้าคาร์บอนตัว จากเครื่องวิเคราะห์การเปลี่ยนแปลงทางความร้อน (Thermal Conductivity Analysis)

ข. ค่าที่ได้จากการโปรแกรม Thermo-Calc (DEMO version)

นำองค์ประกอบทางเคมีของอะลูมิเนียมผสม เอชี 2 เอ และเหล็กกล้าคาร์บอนตัว จากเครื่องวิเคราะห์องค์ประกอบทางเคมี (Optical Emission Spectrometer) เพื่อหาค่าสัดส่วนของแข็ง (Fraction Solid) โดยจะมีความสัมพันธ์กับอุณหภูมิ เมื่ออุณหภูมิลดลงโลหะหลอมเหลวจะปริมาณของแข็งที่มากกว่าของเหลวโดยเมื่อค่าสัดส่วนของแข็งเท่ากับ 1 หมายถึง โลหะหลอมเหลวนี้ของแข็งทั้งหมด

ค. ค่าความหนาแน่นของอะลูมิเนียมผสม เอชี 2 เอ เท่ากับ 2.40 กรัมต่อลูกบาศก์เซนติเมตร และความหนาแน่นของเหล็กกล้าคาร์บอนตัว เท่ากับ 7.32 กรัมต่อลูกบาศก์เซนติเมตรจากสมการที่ (2.1)

ง. ค่าอุณหภูมิเท และอัตราการเทที่ได้จากการหล่อจริง

3.3.8.3 ทดสอบตัวนี้การไฟล โดยใช้โปรแกรมช่วยในการจำลอง แสดงดังตารางที่ 3.2

ตารางที่ 3.2 อุณหภูมิเท และอัตราการเทที่ใช้ในโปรแกรมช่วยในการจำลอง

อุณหภูมิเท (องศาเซลเซียส)	อัตราการเท
560	ระดับที่ 1
560	ระดับที่ 2
600	ระดับที่ 1
680	ระดับที่ 1
680	ระดับที่ 2
720	ระดับที่ 1

3.4 ขั้นตอนการวิเคราะห์ และสรุปผลการทดสอบ

3.4.1 นำข้อมูลที่ได้จากการทดสอบโดยใช้โปรแกรมช่วยในการจำลองมาวิเคราะห์ผลของตัวนี้ การไฟลเมื่อทำการเปลี่ยนอุณหภูมิเท และอัตราการเท

3.4.2 นำขั้นงานที่ได้จากการหล่อจริงมาวิเคราะห์ผลของตัวนี้การไฟลเมื่อทำการเปลี่ยนอุณหภูมิเท และอัตราการเท

3.4.3 นำข้อมูลที่ได้จากการหล่อจริงมาเปรียบเทียบกับโปรแกรมช่วยในการจำลอง

3.4.4 นำผลการเปรียบเทียบมาศึกษาหาข้อสรุปตามวัตถุประสงค์

3.4.5 รวบรวมข้อมูล และจัดทำรูปเล่มโครงการ



บทที่ 4

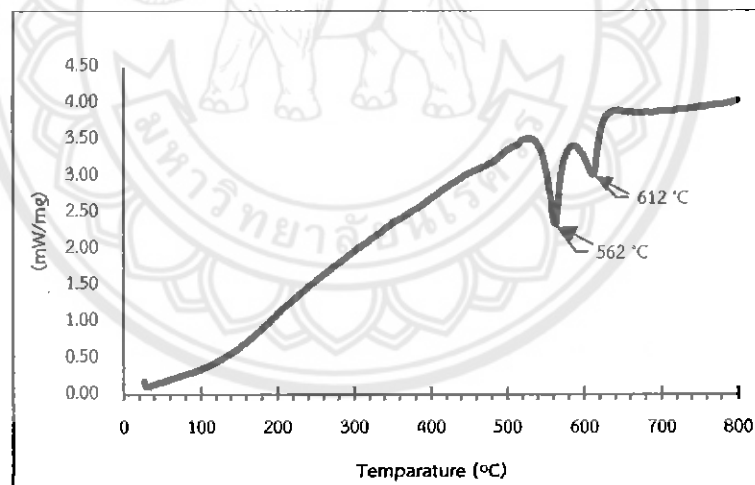
ผลการทดลอง และการวิเคราะห์

ในบทนี้จะกล่าวถึงผลการทดลอง และการวิเคราะห์ผลการทดลองของงานหล่อของอะลูมิเนียมผสม เอชี 2 เอ โดยใช้โปรแกรมช่วยในการจำลองกับการหล่อจริง ซึ่งประกอบไปด้วยผลการวิเคราะห์ของดัชนีการเหลาจากการจำลองการหล่อโดยใช้โปรแกรมช่วยในการจำลองกับการหล่อจริง เมื่อทำการเปลี่ยนอุณหภูมิเท และอัตราการเท แสดงรายละเอียดดังนี้

4.1 ผลการทดสอบจากเครื่องวิเคราะห์สมบัติทางความร้อน องค์ประกอบทางเคมี และการเปลี่ยนแปลงทางความร้อน

4.1.1 ผลการทดสอบจากเครื่องวิเคราะห์สมบัติทางความร้อน (Differential Scanning Calorimeter ; DSC)

เพื่อวิเคราะห์หาอุณหภูมิของเหลว (Liquidus Temperature) และอุณหภูมิของแข็ง (Solidus Temperature) ของอะลูมิเนียมผสม เอชี 2 เอ แสดงดังรูปที่ 4.1



รูปที่ 4.1 กราฟผลการวิเคราะห์สมบัติทางความร้อนของอะลูมิเนียม ผสม เอชี 2 เอ

ผลจากการทดสอบ ดังรูปที่ 4.1 แสดงให้เห็นความสัมพันธ์ระหว่างปริมาณความร้อนกับอุณหภูมิของอะลูมิเนียมผสม เอชี 2 เอ พนwa ณ อุณหภูมิ 612 องศาเซลเซียส เริ่มนิการเปลี่ยนสถานะจากของเหลวทั้งหมดเป็นของเหลวกึ่งแข็ง เรียกว่าอุณหภูมิของเหลว (Liquidus Temperature) ซึ่งของเหลวทั้งหมดเมื่ออุณหภูมิลดลงของเหลวจะเปลี่ยนไปเป็นของแข็งบางส่วน (α) ผสมอยู่กับของเหลว (L) และที่อุณหภูมิ 562 องศาเซลเซียส จะมีการเปลี่ยนสถานะจากของเหลวกึ่งแข็งที่มีของแข็งบางส่วน (α) ผสมอยู่กับของเหลว (L) ซึ่งของผสมนั้นมีอุณหภูมิลดลงจะ

เปลี่ยนไปเป็นของแข็งทั้งหมด ($\alpha + \beta$) เรียกว่า อุณหภูมิของแข็ง (Solidus Temperature) หรือ อุณหภูมิยูเตคติก (Eutectic Temperature)

4.1.2 ผลการทดสอบจากเครื่องวิเคราะห์องค์ประกอบทางเคมี (Optical Emission Spectrometer ; OES)

เพื่อวิเคราะห์ห้องค์ประกอบทางเคมีของอะลูมิเนียมผสม เอชี 2 เอ และเหล็กกล้า คาร์บอนต่ำ ผลการทดสอบองค์ประกอบทางเคมีแสดงรายละเอียดทั้งหมดดังภาคผนวก ก และสรุปในส่วนของปริมาณที่สำคัญแสดงดังตารางที่ 4.1 และตารางที่ 4.2

ตารางที่ 4.1 ผลการวิเคราะห์องค์ประกอบทางเคมีของอะลูมิเนียมผสม เอชี 2 เอ

ธาตุ (Element)	ร้อยละโดยน้ำหนัก (Percent by Weight)
ซิลิคอน (Si)	4.74496
ทองแดง (Cu)	3.34000
เหล็ก (Fe)	0.45188
แมกนีเซียม (Mg)	0.21086
สังกะสี (Zn)	0.18444
แมงกานีส (Mn)	0.18189
อะลูมิเนียม (Al)	Balance

ตารางที่ 4.2 ผลการวิเคราะห์องค์ประกอบทางเคมีของเหล็กกล้าคาร์บอนต่ำ

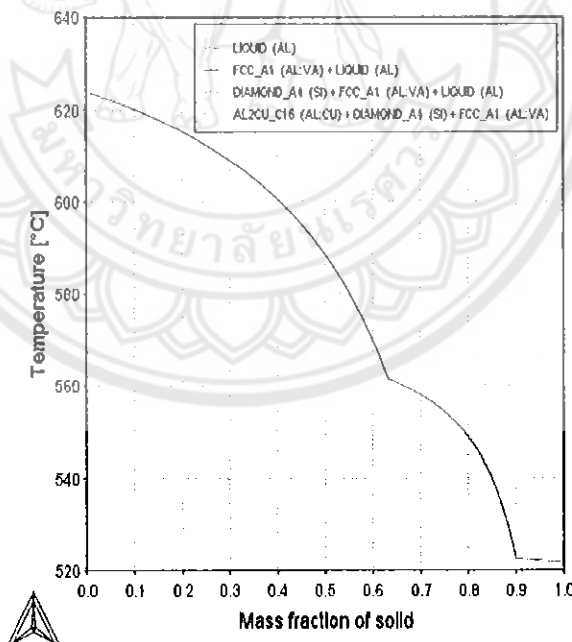
ธาตุ (Element)	ร้อยละโดยน้ำหนัก (Percent by Weight)
แมงกานีส (Mn)	1.08764
ทองแดง (Cu)	0.30111
ซิลิคอน (Si)	0.24495
คาร์บอน (C)	0.20136
อะลูมิเนียม (Al)	0.02934
เหล็ก (Fe)	Balance

4.1.3 ผลการทดสอบจากเครื่องวิเคราะห์การเปลี่ยนแปลงทางความร้อน (Thermal Conductivity Analysis ; TCA)

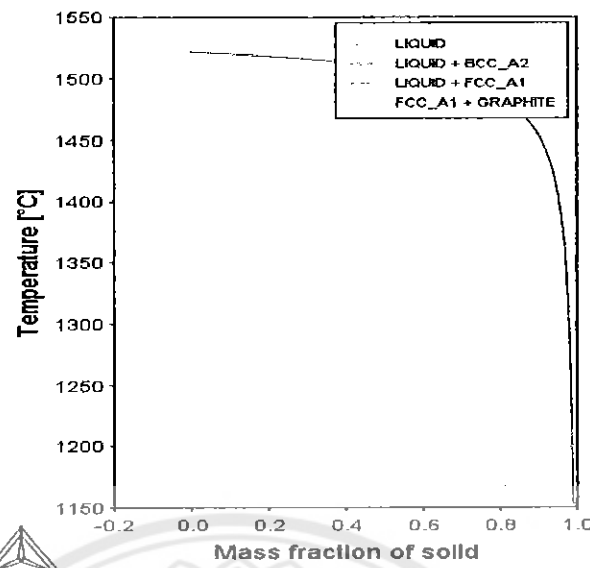
เพื่อวิเคราะห์หาค่าสัมประสิทธิ์การนำความร้อนของอะลูมิเนียมผสม เอชี 2 เอ และเหล็กกล้าคาร์บอนต่ำ แสดงรายละเอียดดังภาคผนวก ๖ และสรุปจากการทดสอบ พบว่าอะลูมิเนียมผสม เอชี 2 เอ และเหล็กกล้าคาร์บอนต่ำ มีค่าสัมประสิทธิ์การนำความร้อน (Thermal Conductivity Coefficient) เท่ากับ 235.55 วัตต์ต่อมิตรเคลวิน และ 42.33 วัตต์ต่อมิตรเคลวิน ตามลำดับ

4.2 ผลการทดสอบจากโปรแกรม Thermo-Calc (DEMO version)

เพื่อหาค่าสัดส่วนของแข็ง (Fraction Solid) ของอะลูมิเนียมผสม เอชี 2 เอ และเหล็กกล้า คาร์บอนต่ำ ผลที่ได้เป็นกราฟแสดงดังรูปที่ 4.2 และรูปที่ 4.3 ตามลำดับ จากกราฟจะเห็นว่าเมื่อ อุณหภูมิลดลง ค่าสัดส่วนของแข็งจะมีค่าเพิ่มขึ้น โดยค่าสัดส่วนที่เพิ่มขึ้นนั้นแสดงถึงการแข็งตัวของ โลหะหลอมเหลว ซึ่งจะสัมพันธ์กับอุณหภูมิที่ลดลง การแข็งตัวของโลหะหลอมเหลว ก็เพิ่มขึ้น เมื่อได้ ผลทดสอบจากโปรแกรม Thermo-Calc จะนำข้อมูลเขิงตัวเลขจากการนำไปใช้ในโปรแกรมช่วยในการจำลอง เพื่อหาดัชนีการไหลของอะลูมิเนียมผสมเอชี 2 เอ



รูปที่ 4.2 ค่าสัดส่วนของแข็ง (Fraction Solid) ของอะลูมิเนียมผสม เอชี 2 เอ



รูปที่ 4.3 ค่าสัดส่วนของแข็ง (Fraction Solid) ของเหล็กกล้าคาร์บอนต่ำ

4.3 ผลการหล่อจริง

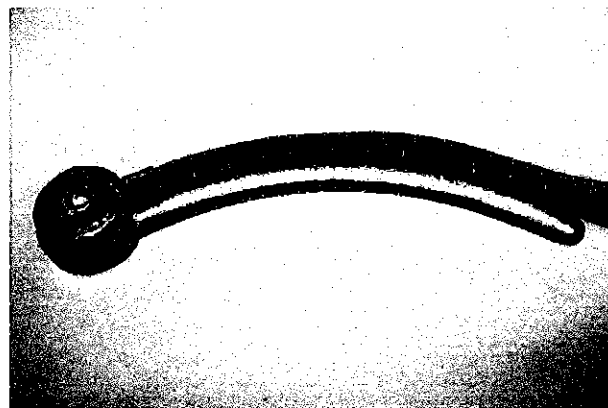
ชิ้นงานในการหล่อจริงจะใช้อุณหภูมิเนื้ยมผสม เอชี 2 เอ และใช้แม่พิมพ์เหล็กกล้าคาร์บอนต่ำ โดยนำชิ้นงานที่ได้จากการหล่อจริงมาวัดความยาวด้วยสายวัดพลาสติก (Measuring Tape) เพื่อน้ำค่าตัวตนของการให้ของอุณหภูมิเนื้ยมผสม เอชี 2 เอ จากการหล่อจริง พบร่วาชิ้นงานที่ใช้อุณหภูมิเท 680 องศาเซลเซียส และอัตราการเทระดับที่ 1, อุณหภูมิเท 680 องศาเซลเซียส และอัตราการเทระดับที่ 2 และอุณหภูมิเท 720 องศาเซลเซียส และอัตราการเทระดับที่ 1 มีดังนี้การให้เท่ากับ 52, 131 และ 95 มิลลิเมตร ตามลำดับ แสดงดังรูปที่ 4.4



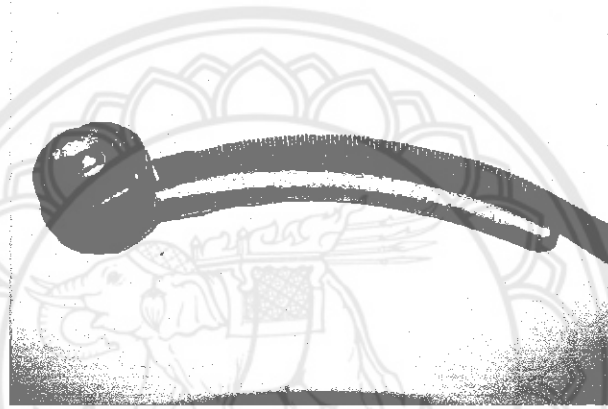
ก)

รูปที่ 4.4 ชิ้นงานอะลูมิเนียมผสม เอชี 2 เอ จากการหล่อจริง

ก) โดยใช้อุณหภูมิเท 680 องศาเซลเซียส และอัตราการเทระดับที่ 1



ก)



ค)

รูปที่ 4.4 (ต่อ) ชิ้นงานอะลูมิเนียมผสม เอซี 2 เอ จากการหล่อจริง
 ข) โดยใช้อุณหภูมิเท 680 องศาเซลเซียส และอัตราการเทระดับที่ 2
 ค) โดยใช้อุณหภูมิเท 720 องศาเซลเซียส และอัตราการเทระดับที่ 1

ผลการเปรียบเทียบดัชนีการไหลของอะลูมิเนียมผสม เอซี 2 เอ จากการหล่อจริงเมื่อทำการเปลี่ยนอุณหภูมิเท แสดงดังตารางที่ 4.3 และเมื่อทำการเปลี่ยนอัตราการเท แสดงดังตารางที่ 4.4

ตารางที่ 4.3 ดัชนีการไหลของอะลูมิเนียม ผสมเอซี 2 เอ เมื่อทำการเปลี่ยนอุณหภูมิเท

อัตราการเท	อุณหภูมิเท (องศาเซลเซียส)	ดัชนีการไหล (มิลลิเมตร)
ระดับที่ 1	680	52
	720	95

พบว่าที่อุณหภูมิเท 680 และ 720 องศาเซลเซียส โดยใช้อัตราการเทระดับที่ 1 เห็นได้ว่าเมื่ออุณหภูมิเทสูงขึ้นจะมีดัชนีการไหลเพิ่มขึ้น เนื่องจากอุณหภูมิเทที่ไม่เท่ากันจะมีค่าความแตกต่างของ

อุณหภูมิ (Degree of Superheat) ต่างกัน ถ้าความแตกต่างของอุณหภูมิ (Degree of Superheat) มีค่าเพิ่มขึ้น ส่งผลให้อะลูมิเนียมหลอมเหลวมีความหนืด (Viscosity) ลดลง ลดความต้านทานต่อการไหลช่วยให้อะลูมิเนียมหลอมเหลวมีความสามารถในการไหลได้ดีขึ้น

ตารางที่ 4.4 ดัชนีการไหลของอะลูมิเนียมผสม เอซี 2 เอ เมื่อทำการเปลี่ยนอัตราการเห

อุณหภูมิเท (องศาเซลเซียส)	อัตราการเห	ดัชนีการไหล (มิลลิเมตร)
680	ระดับที่ 1	52
	ระดับที่ 2	131

พบว่าที่อัตราการเหระดับที่ 1 และระดับที่ 2 โดยใช้อุณหภูมิเท 680 องศาเซลเซียส เห็นได้ว่า เมื่ออัตราการเหเพิ่มขึ้นจะมีดัชนีการไหลเพิ่มขึ้น เนื่องจากการเหอะลูมิเนียมหลอมเหลวลงสู่แม่พิมพ์เร็ว จะทำให้ความสามารถในการดันโลหะหลอมเหลวเข้าสู่แม่พิมพ์ได้เร็วก่อนที่โลหะหลอมเหลวจะเกิดการแข็งตัว ส่งผลให้อะลูมิเนียมหลอมเหลวไหลได้ดีกว่าอัตราการเหที่ช้ากว่า

4.4 ผลการทดสอบดัชนีการไหลโดยใช้โปรแกรมช่วยในการจำลอง

เนื่องจากโปรแกรมช่วยในการจำลองต้องใส่ข้อมูลของอะลูมิเนียมผสม เอซี 2 เอ และเหล็กกล้าคาร์บอนต่างๆจากเครื่องวิเคราะห์ต่างๆ เมื่อใส่ข้อมูลลงในโปรแกรมช่วยในการจำลอง โปรแกรมไม่สามารถคำนวณดัชนีการไหลได้ อาจเกิดจากข้อมูลที่ป้อนเข้าไปในโปรแกรมไม่มีความสัมพันธ์กันของข้อมูล จึงทำให้โปรแกรมช่วยในการจำลองไม่สามารถทดสอบดัชนีการไหลได้ จึงทำให้ต้องใช้ข้อมูลพื้นฐานที่มีอยู่ในฐานข้อมูลของโปรแกรมช่วยในการจำลองมาทำการทดสอบเพื่อหาดัชนีการไหล โดยเลือกใช้ Al EN AC-45100 AISI5Cu3Mg เนื่องจากเป็นวัสดุที่มีปริมาณส่วนผสมใกล้เคียงกับอะลูมิเนียมผสม เอซี 2 เอ แสดงดังภาคผนวก ก และมีปริมาณส่วนผสมที่แตกต่างกันแสดงดังตารางที่ 4.5 และเลือกใช้ Low Carbon AISI 1008 เนื่องจากเป็นวัสดุที่มีปริมาณส่วนผสมใกล้เคียงกับเหล็กกล้าคาร์บอนต่างๆ แสดงดังภาคผนวก ก และมีปริมาณส่วนผสมที่แตกต่างกันแสดงดังตารางที่ 4.6

ตารางที่ 4.5 เปรียบเทียบปริมาณส่วนผสมของอลูมิเนียมผสม เอชี 2 เอ กับอลูมิเนียม EN AC-45100 AlSi5Cu3Mg

ชนิดของธาตุ	ปริมาณส่วนผสมร้อยละโดยน้ำหนักของอลูมิเนียมเอชี 2 เอ	ปริมาณส่วนผสมร้อยละโดยน้ำหนักของอลูมิเนียม EN AC- 45100 AlSi5Cu3Mg	ค่าความแตกต่าง
Si	4.74496	5	0.25504
Cu	3.34000	3	0.34000
Mg	0.21086	0.1	0.11086
Ni	-	0.3	0.3
Ti	0.11542	0.25	0.13458
Zn	0.18444	0.5	0.31556

ตารางที่ 4.6 เปรียบเทียบปริมาณส่วนผสมของเหล็กกล้าคาร์บอนต่ำ กับเหล็กกล้า Low-Carbon AISI 1008

ชนิดของธาตุ	ปริมาณส่วนผสมร้อยละโดยน้ำหนักของเหล็กกล้าคาร์บอนต่ำ	ปริมาณส่วนผสมร้อยละโดยน้ำหนักของเหล็กกล้า Low-Carbon AISI 1008	ค่าความแตกต่าง
C	0.20136	0.08	0.12136
Si	0.24495	0.080	0.16495
Cr	0.12979	0.45	0.32021
Mn	1.08764	0.31	0.77764
P	0.01196	0.05	0.03804
S	0.00752	0.05	0.13458

และยังมีสมบัติต้านอื่นๆ ของอลูมิเนียมผสม เอชี 2 เอ และเหล็กกล้าคาร์บอนต่ำ ที่มีค่าแตกต่างกันกับสมบัติต้านอื่นๆ ของ EN AC-45100 AlSi5Cu3Mg และเหล็กกล้าคาร์บอนต่ำ Low-Carbon AISI 1008 แสดงดังตารางที่ 4.7 และ 4.8

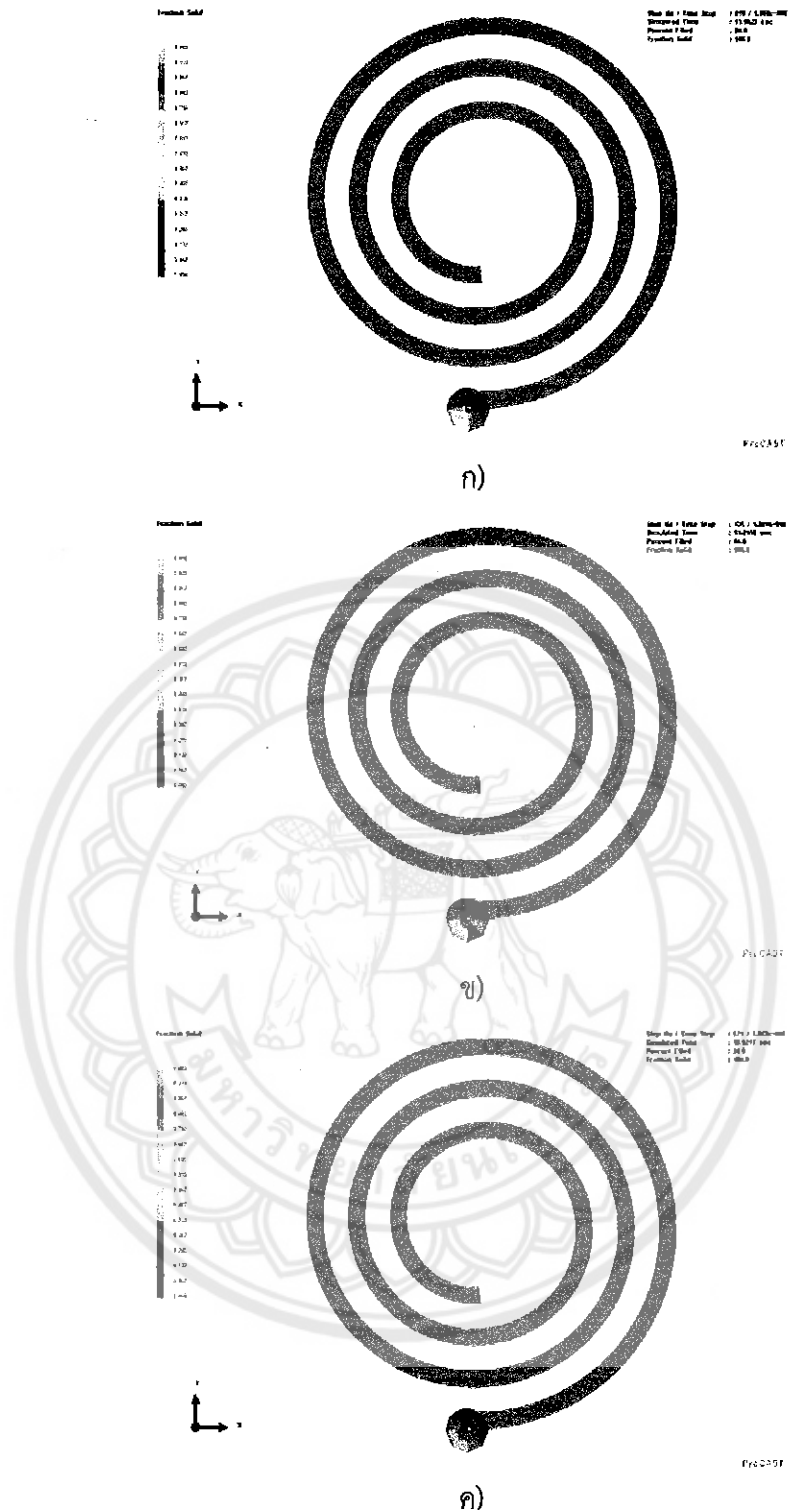
ตารางที่ 4.7 เปรียบเทียบค่าสมบัติทางอื่นๆของอะลูมิเนียมผสานเอชี 2 เอกับอะลูมิเนียม EN AC-45100AlSi5Cu3Mg

คุณสมบัติทางความร้อน (Thermal)	อะลูมิเนียมผสาน เอชี 2 เอ	อะลูมิเนียม EN AC-45100 AlSi5Cu3Mg
Conductivity ($\frac{W}{m \cdot K}$)	233.95	ดังรูปที่ ง.1
Density ($\frac{kg}{m^3}$)	2.4	ดังรูปที่ ง.2
Specific Heat ($\frac{kJ}{kg}$)	860	ดังรูปที่ ง.3
Fraction Solid	ดังรูปที่ 4.2	ดังรูปที่ ง.4
Liquidus Temperature (°C)	624	617
Solidus Temperature (°C)	521	500

ตารางที่ 4.8 เปรียบเทียบค่าสมบัติอื่นของเหล็กกล้าคาร์บอนต่ำ กับ LowCarbon AISI 1008

คุณสมบัติทางความร้อน (Thermal)	เหล็กกล้าคาร์บอนต่ำ	เหล็กกล้าคาร์บอน Low Carbon AISI 1008
Conductivity ($\frac{W}{m \cdot K}$)	42.24	ดังรูปที่ ง.5
Density ($\frac{kg}{m^3}$)	7.41	ดังรูปที่ ง.6
Specific Heat ($\frac{kJ}{kg}$)	0.49	-
Enthalpy (J)	-	ดังรูปที่ ง.7
Fraction Solid	ดังรูปที่ 4.3	ดังรูปที่ ง.8
Liquidus Temperature (°C)	1460	1526
Solidus Temperature (°C)	1522	1446

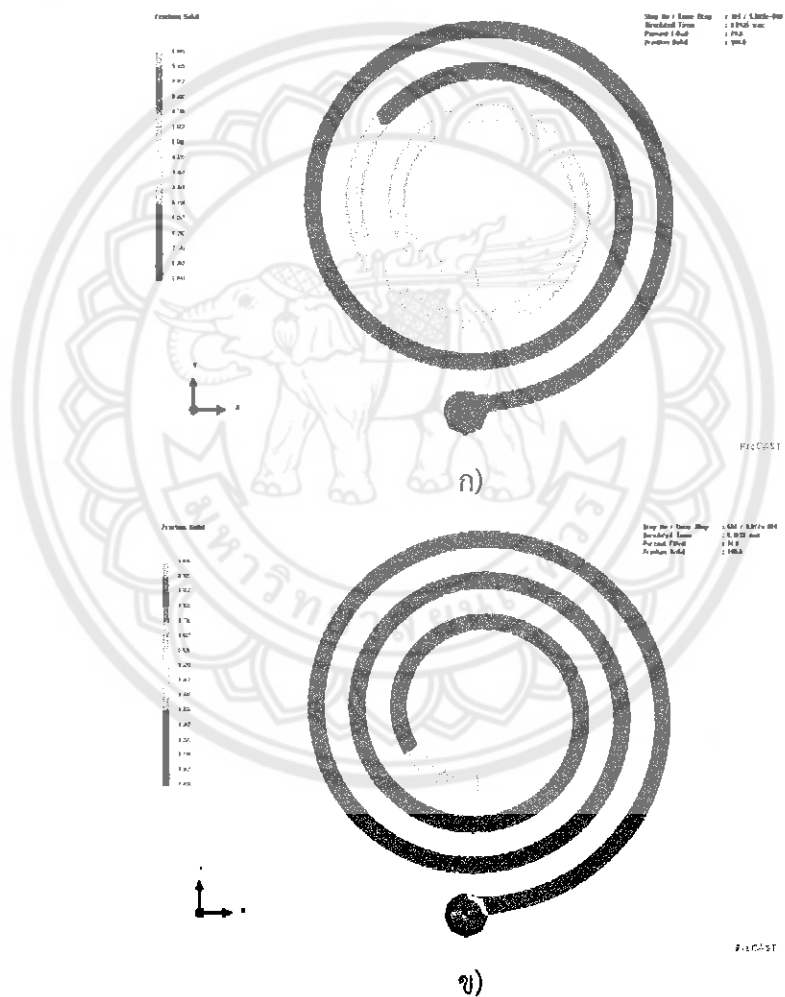
ผลของตัวนี้การเหลาของ Al EN AC-45100 AlSi5Cu3Mg โดยใช้โปรแกรมช่วยในการจำลองที่อุณหภูมิเท่า 680 องศาเซลเซียส อัตราการเหลาตับที่ 1 และอัตราการเหลาตับที่ 2 และอุณหภูมิเท่า 720 องศาเซลเซียส, อัตราการเหลาตับที่ 1 แสดงดังรูปที่ 4.5



รูปที่ 4.5 ผลของตัวนีการไฟลของ Al EN AC-45100 AlSi5Cu3Mg โดยใช้โปรแกรมช่วยในการจำลอง

- โดยใช้อุณหภูมิเท 680 องศาเซลเซียส และอัตราการเหระดับที่ 1
- โดยใช้อุณหภูมิเท 680 องศาเซลเซียส และอัตราการเหระดับที่ 2
- โดยใช้อุณหภูมิเท 720 องศาเซลเซียส และอัตราการเหระดับที่ 1

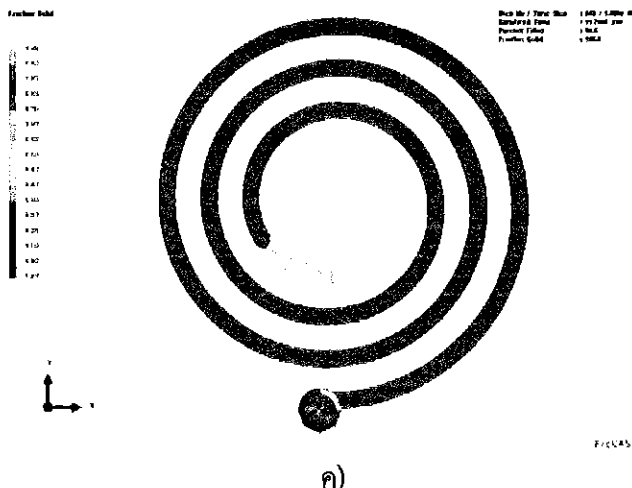
ซึ่งผลการทดลองจากโปรแกรมช่วยในการจำลองไม่สามารถเห็นผลของตัวนี้การให้เหล็กเนื่องจากโลหะหลอมเหลวไหลเต็มแม่พิมพ์ ทำให้ไม่สามารถนำผลการทดลองที่มีความแตกต่างของอุณหภูมิเท แล้วอัตราการเผาไหม้เคราะห์ให้ทางคนละผู้จัดทำจึงได้ทำการทดลองเพิ่มโดยการลดอุณหภูมิเหลงเพื่อนำผลการทดลองมาเปรียบเทียบด้วยการในสูตร โดยเลือกใช้อุณหภูมิเท 560 องศาเซลเซียส, อัตราการเทrebดับที่ 1 และระดับที่ 2 และอุณหภูมิเท 600 องศาเซลเซียส, อัตราการเทrebดับที่ 1 ผลจากการทดสอบพบว่าด้วยการให้เหล็กของ Al EN AC-45100 AlSi5Cu3Mg จากโปรแกรมช่วยในการจำลอง โดยใช้อุณหภูมิเท 560 องศาเซลเซียส และอัตราการเทrebดับที่ 1, อุณหภูมิเท 560 องศาเซลเซียส และอัตราการเทrebดับที่ 2 และอุณหภูมิเท 600 องศาเซลเซียส และอัตราการเทrebดับที่ 1 มีดัชนีการให้เหล็กที่ 96, 133 และ 134 มิลลิเมตร ตามลำดับแสดงดังรูปที่ 4.6



รูปที่ 4.6 ผลของดัชนีการให้เหล็กของ Al EN AC-45100 AlSi5Cu3Mg โดยใช้โปรแกรมช่วยในการจำลอง

ก) โดยใช้อุณหภูมิเท 560 องศาเซลเซียส และอัตราการเทrebดับที่ 1

ข) โดยใช้อุณหภูมิเท 560 องศาเซลเซียส และอัตราการเทrebดับที่ 2



ค)

รูปที่ 4.6 (ต่อ) ผลของดัชนีการไหลของ Al EN AC-45100 AlSi5Cu3Mg โดยใช้โปรแกรมช่วยในการจำลอง
ค) โดยใช้อุณหภูมิเท 600 องศาเซลเซียส และอัตราการเหระดับที่ 1

ผลการเปรียบเทียบดัชนีการไหลของ Al EN AC-45100 AlSi5Cu3Mg จากโปรแกรมช่วยในการจำลอง เมื่อทำการเปลี่ยนอุณหภูมิเท แสดงดังตารางที่ 4.5 และเมื่อทำการเปลี่ยนอัตราการเหระ แสดงดังตารางที่ 4.6

ตารางที่ 4.9 ดัชนีการไหลของ Al EN AC-45100 AlSi5Cu3Mg เมื่อทำการเปลี่ยนอุณหภูมิเท

อัตราการเหระ	อุณหภูมิเท (องศาเซลเซียส)	ดัชนีการไหล (มิลลิเมตร)
ระดับที่ 1	560	96
	600	134

พบว่าที่อุณหภูมิเท 560 และ 600 องศาเซลเซียส โดยใช้อัตราการเหระดับที่ 1 เห็นได้ว่าเมื่ออุณหภูมิเทสูงขึ้นจะมีดัชนีการไหลเพิ่มขึ้น เนื่องจากอุณหภูมิเทที่ไม่เท่ากันจะมีความแตกต่างของอุณหภูมิ (Degree of Superheat) ต่างกัน ถ้าความแตกต่างของอุณหภูมิ (Degree of Superheat) มีค่าเพิ่มขึ้น ส่งผลให้อะลูมิเนียมหลอมเหลวมีความหนืด (Viscosity) ลดลง ลดความต้านทานต่อการไหลช่วยให้อะลูมิเนียมหลอมเหลวมีความสามารถในการไหลได้ดีขึ้น

ตารางที่ 4.10 ดัชนีการไฟลของ Al EN AC-45100 AlSi5Cu3Mg เมื่อทำการเปลี่ยนอัตราการไฟล

อุณหภูมิไฟล (องศาเซลเซียส)	อัตราการไฟล	ดัชนีการไฟล (มิลลิเมตร)
560	ระดับที่ 1	96
	ระดับที่ 2	133

พบว่าที่อัตราการไฟลระดับที่ 1 และระดับที่ 2 โดยใช้อุณหภูมิไฟล 560 องศาเซลเซียส เห็นได้ว่า เมื่ออัตราการไฟลเพิ่มขึ้นจะมีดัชนีการไฟลเพิ่มขึ้น เนื่องจากการเทอคลูมเนียมหลอมเหลวลงสู่แม่พิมพ์ เร็ว จึงทำให้ความสามารถในการดันโลหะหลอมเหลวเข้าสู่แม่พิมพ์ได้เร็วก่อนที่โลหะหลอมเหลวจะเกิดการแข็งตัว ส่งผลให้อะลูมิเนียมหลอมเหลวไฟลได้ดีกว่าอัตราการไฟลที่ช้ากว่า

4.5 เปรียบเทียบผลของดัชนีการไฟล โดยใช้โปรแกรมช่วยในการจำลองกับการหล่อจริง

ผลการเปรียบเทียบดัชนีการไฟลเมื่อทำการเปลี่ยนอุณหภูมิไฟล และอัตราการไฟล โดยใช้โปรแกรมช่วยในการจำลองกับการหล่อจริง แสดงดังตารางที่ 4.9

ตารางที่ 4.11 เปรียบเทียบดัชนีการไฟลเมื่อทำการเปลี่ยนอุณหภูมิไฟล และอัตราการไฟล โดยใช้โปรแกรมช่วยในการจำลองกับการหล่อจริง

	อุณหภูมิไฟล (องศาเซลเซียส)	อัตราการไฟล	ดัชนีการไฟล (มิลลิเมตร)
หล่อจริง	680	ระดับที่ 1	52
		ระดับที่ 2	131
โปรแกรมช่วยในการจำลอง	720	ระดับที่ 1	95
		ระดับที่ 1	n/a
	680	ระดับที่ 2	n/a
		ระดับที่ 1	n/a
	720		

หมายเหตุ: n/a = Not Applicable

จากตารางที่ 4.9 เห็นได้ว่าผลการทดลองของการหล่อจริง และโปรแกรมช่วยในการจำลอง โดยใช้อุณหภูมิไฟล และอัตราการไฟลที่เท่ากัน จะมีดัชนีการไฟลไม่เท่ากันเนื่องจากผลการจำลอง (Simulation) แสดงให้เห็นว่าโลหะหลอมเหลวไฟลเต็มแม่พิมพ์จึงไม่สามารถทราบดัชนีการไฟลได้ และวัสดุที่ใช้ในการหล่อจริงกับวัสดุที่ป้อนลงในโปรแกรมช่วยในการจำลองเป็นวัสดุต่างชนิดกันโดยจะ

เมืองคปประจำอยู่ทางเหนือ สัมประสิทธิ์การนำความร้อน อุณหภูมิของเหลว อุณหภูมิของแข็ง สัดส่วนของแข็ง และความหนาแน่นของสกดุต่างกัน และปัจจัยด้านสิ่งแวดล้อม เครื่องมือในการเก็บข้อมูลอาจจะไม่มีความถูกต้อง แม่นยำ ส่งผลให้ต้นน้ำการไหลมีค่าไม่เท่ากัน



บทที่ 5

บทสรุป และข้อเสนอแนะ

ในบทนี้ก่อร่างถึงบทสรุป ข้อเสนอแนะ และการพัฒนา รวมทั้งปัญหาที่พบ และแนวทางการแก้ไขของโครงการนี้มีรายละเอียดดังนี้

5.1 บทสรุป

5.1.1 ผลของดัชนีการไฟล์โดยใช้โปรแกรมช่วยในการจำลองกับการหล่อจริง พบว่าเมื่อ อุณหภูมิเท แล้วอัตราการเพิ่มขึ้น ส่งผลให้ดัชนีการไฟล์เพิ่มขึ้น

5.1.2 ผลการเปรียบเทียบดัชนีการไฟล์โดยใช้โปรแกรมช่วยในการจำลองกับการหล่อจริง พบว่าดัชนีการไฟล์มีค่าไม่เท่ากันเนื่องจากวัสดุที่ใช้ในการหล่อจริงกับวัสดุที่ใช้ในโปรแกรมช่วยในการจำลองเป็นวัสดุต่างชนิดกัน

5.2 ปัญหาที่พบ และแนวทางการแก้ไข

5.2.1 ในการวัดอุณหภูมิของโลหะหลอมเหลว ควรใช้อุปกรณ์ในการวัดที่มีความเที่ยงตรง เพื่อให้ได้ค่าที่มีความถูกต้อง และแม่นยำ

5.2.2 ในการหล่อจริงควรติดตั้งเครื่องแท่ และตัวแทน่แม่พิมพ์ที่แน่นอนทุกครั้ง เพื่อให้ได้ค่าที่ มีความถูกต้อง และแม่นยำ

5.2.3 เนื่องจากในการหลอมโลหะหลอมเหลวที่อุณหภูมิสูง ขณะเตรียมการเทโลหะหลอมเหลว ทำให้อุณหภูมิลดลงอย่างรวดเร็ว ดังนั้นจึงควรวางแผนในการปฏิบัติงานของแต่ละคนให้ดีเพื่อให้ได้ อุณหภูมิเท่าต้องการ และถูกต้อง

5.2.4 เนื่องจากโปรแกรมไม่สามารถทดสอบดัชนีการไฟล์ของอะลูминีียมผสม เอซี 2 เอ ได้จึง ควรทำการศึกษาข้อมูลการใช้โปรแกรมช่วยในการจำลองให้มากกว่านี้ เพื่อสามารถทดสอบดัชนีการไฟล์ของอะลูминีียมผสม เอซี 2 เอ มาเปรียบเทียบกับการหล่อจริงได้

5.3 ข้อเสนอแนะ

5.3.1 การปฏิบัติงานมีโอกาสเกิดอันตรายจากอุณหภูมิสูงที่ใช้ในการหลอมโลหะ ควรใส่ อุปกรณ์ป้องกันความร้อน เพื่อความปลอดภัยขณะปฏิบัติงาน

5.3.2 ในการหล่อจริงสามารถปรับเปลี่ยนอุณหภูมิเท และอัตราการเทได้

5.3.3 ในการหล่อจริงควรทำความสะอาดแม่พิมพ์ให้สะอาด เนื่องจากสิ่งเจือปนหรือเศษวัสดุ ส่งผลให้ไปขัดขวางการไหลของโลหะหลอมเหลว เพื่อให้ได้ค่าที่ถูกต้อง และแม่นยำ

5.3.4 ในการหล่อจริงควรอยู่ในบรรยากาศปิด เพื่อให้การวัดค่าตัวแปร (Parameters) ต่างๆ เช่น อุณหภูมิล้อมรอบ อุณหภูมิเท เป็นต้น ได้ค่าที่เที่ยงตรงแม่นยำ

5.4 การพัฒนา

5.4.1 ในการทดสอบดัชนีการให้สามารถนำไปแก้ไขข้อบกพร่องขึ้นงานที่ได้จากการบวนการหล่อ ได้ เช่น โลหะหลอมเหลวไหลไม่เต็มแบบ เป็นต้น

5.4.2 ผลของดัชนีการให้ที่เพิ่มขึ้นเมื่ออุณหภูมิเท และอัตราการเหที่สูงขึ้น สามารถนำไปประยุกต์ใช้กับกระบวนการหล่อที่ต้องการใช้ความสามารถในการให้ของโลหะหลอมเหลวได้



เอกสารอ้างอิง

เกียรติศักดิ์ ไชยวรรณ.(2556).ความตึงผิว(ออนไลน์), สืบค้นจาก: [ดร.เกศินี เหมวิเชียร และดร.พิริยาธร สุวรรณมาลา. \(2553\). การทดสอบสมบัติของพอลิเมอร์ ตอน ที่ 1 เครื่องดิฟเฟอเรนเซียลสแกนนิ่งแคลอริมิเตอร์ \(Polymer Characterization: Differential Scanning Calorimeter \(DSC\). กลุ่มวิจัยและพัฒนานิวเคลียร์ สถาบันเทคโนโลยีนิวเคลียร์ แห่งชาติ \(องค์การมหาชน\), นครนายก.](https://essonaysandee.Wordpress.com/เนื้อหาที่เรียน/ความตึงผิว, [5 ตุลาคม 2559]</p></div><div data-bbox=)

ติสยาภุ แซ่อัง.(2556).เหล็กมาตรฐานDIN(ออนไลน์),สืบค้นจาก: [ฉลอง ดอกยี่สุน และวชิรุธ หมorthoพย. \(2556\).เหล็กมาตรฐานDIN pdf\(ออนไลน์\),สืบค้นจาก: \[เชิดศักดิ์ อรัญมาดา และรศ.ดร.ชาญยุทธ โภสิตะวงศ์ \\(2547\\). การศึกษาภูมิปืนฐานและหลักการ ออกแบบ GATE และ RUNNER ของชิ้นงาน LOCKING KNOB ในอุตสาหกรรมคอมไฟ โดยใช้เทคนิคการจำลองวิธีการหล่ออัลูมิเนียม. วิทยานิพนธ์, สถาบันเทคโนโลยีพระจอมเกล้า พระนครเหนือ, กรุงเทพมหานคร\]\(http://www rtc.ac.th/www_km/02/027/225602/unit01.pptx, \[27 พฤษภาคม 2560\]</p></div><div data-bbox=\)](http://www.ssi-steel.com, [27 พฤษภาคม 2560]</p></div><div data-bbox=)

รศ.ดร.ณรงค์ศักดิ์ อรرمโพธิ2558, วัสดุวิศวกรรม, สำนักพิมพ์ชีเอ็ดบุ๊คกรุงเทพมหานคร, กรุงเทพมหานคร

ณรงค์ฤทธิ์ โสสะ.(2559). โลหะอัลูมิเนียมผสม(ออนไลน์), สืบค้นจาก:[หนังสือศึกษา มูลสาร. \(2554\). การเขียนโปรแกรม AutoCAD \(ออนไลน์\), สืบค้นจาก: \[ปิยนุช มีธรรม และพศ.ดร.ชาคริต สุวรรณเจริญ. \\(2557\\). แบบจำลองการหล่อแม่พิมพ์ความตันสูง กับปัจจัยที่ส่งผลต่อการเกิดรูพรุนภายในชิ้นงาน. วิทยานิพนธ์, มหาวิทยาลัยมหิดล, นครปฐม\]\(http://www.pbntc.ac.th, \[5 ตุลาคม 2559\]</p></div><div data-bbox=\)](https://www scribd.com .doc,[5 ตุลาคม 2559]</p></div><div data-bbox=)

พศ.ดร.พิมพ์เพ็ญ พรเฉลิมพงศ์ และพศ.ดร.นวภัทร หนูนาค. (2535). การวัดการไหล (flow measurement) (ออนไลน์), สืบค้นจาก: [พศ.ดร.พิมพ์เพ็ญ พรเฉลิมพงศ์ และศาสตราจารย์เกียรติคุณ ดร.นิธิยา รัตนานนท์. \(2559\). เครื่อง Differential Scanning Calorimeter\(ออนไลน์\),สืบค้นจาก:\[มงคล แก้วพรัตน์ \\(2012\\). การลดปัญหาข้อบกพร่องในกระบวนการผลิตชิ้นส่วนยานยนต์จาก อัลูมิเนียมหล่อโดยใช้โปรแกรมจำลองงานหล่อขึ้นรูป. วิทยานิพนธ์, มหาวิทยาลัยเทคโนโลยี-สุรนารี, นครราชสีมา\]\(http://www.foodnet worksolution.com, \[10 พฤษภาคม 2559\]</p></div><div data-bbox=\)](http://www.foodnetworksolution.com/การ วัดการไหล, [12 พฤษภาคม 2559]</p></div><div data-bbox=)

เอกสารอ้างอิง (ต่อ)

- รศ.ดร.เชาวลิต ลี้มพ่วงวิจิตร.(2560).มาตรฐานอสูมิเนียม(ออนไลน์), สืบค้นจาก:
<http://www.cemt.net/.pdf>, [7 พฤษภาคม 2560]
- ศิริพร สิงห์รัญ. (2557). เครื่อง TCA mtec (ออนไลน์), สืบค้นจาก: <http://www.mtec.or.th>, [30 พฤษภาคม 2559]
- สมชาย เสี่ยมสุขใจ. (2559). เครื่องวิเคราะห์ส่วนประกอบทางเคมี OES(ออนไลน์), สืบค้นจาก: www.unithai.co.th, [10 เมษายน 2560]
- อภิรัฐ โภสิตานันท์ และคณะ(2554). การศึกษาพัฒนาระบบทดลองกระบวนการหล่อแบบหมุน
 เหวี่ยง. วิทยานิพนธ์,มหาวิทยาลัยเทคโนโลยีพระจอมเกล้าธนบุรี, กรุงเทพมหานคร
- เอกринทร์ อ Eisim (2547). การวิเคราะห์ปริมาณธาตุในสารตัวอย่างควนด้วยเครื่องวัดสเปกตรัม^{การวิเคราะห์สีเอกซ์แบบกระจายความยาวคลื่น}. วิทยานิพนธ์, มหาวิทยาลัยศรีนครินทรวิโรฒ,
 ทักษะ
- เอกринทร์ อ Eisim, (2549). เครื่อง X-Ray Fluorescence (XRF)(ออนไลน์), สืบค้นจาก:
<http://www.neutron.rmutphysics.com>, [11 พฤษภาคม 2559]
- เอกชัย กิตติแก้วทวีเสรีธู และคณะ (2554). อิทธิพลของตัวแปรในการออกแบบ Fan gate ที่มีผลต่อ^{พฤติกรรมการหล่อแบบโลหะเหลว}ในกระบวนการหล่อความดันสูง. วารสารวิจัยและ^{พัฒนา} มหาวิทยาลัยเทคโนโลยีพระจอมเกล้าธนบุรี ,กรุงเทพมหานคร
- F. Bonollo, E. Faltracco, F. Danieli, B. Molinas, Evaluation of fluidity in aluminum alloys, Proc. Conf. "EUROMAT 2001", Rimini (2001, paper 910; Associazione ItalianadiMetallurgia-Milano.
- F. Zupanic. (2014). Microstructure of an Al–Mn–Be–B alloy, Journal of Alloys and Compounds b617 (2014) 174–179
- Mohan Krishna and G. S. Reddy, (2014). SIMULATION OF FLUIDITY IN ALUMINUM ALLOYS, SUPER ALLOY CMSX4, AND DUCTILE CAST IRON. December 12th–14th, 2014,IIT Guwahati, Assam, India
- J.Campbell, Castings, Oxford, Butterworth-Heinemann, 2003, pp.74-96.
- M. DiSabatino, L.Arnberg, S.Brusethaug, D. Apelian, Int. J.Cast Met. Res., vol. 19 (2006), p. 94.

ภาคผนวก ก

องค์ประกอบทางเคมีของอะลูมิเนียมผสม เอชี 2 เอ และเหล็กกล้าคาร์บอนต่ำ
โดยเครื่องวิเคราะห์องค์ประกอบทางเคมี (Optical Emission
Spectrometer ; OES) และองค์ประกอบทางเคมีของ EN AC-45100
AlSi5Cu3Mg และ Low Carbon AISI 1008 จากข้อมูลพื้นฐานในโปรแกรม
ช่วยในการจำลอง

ตารางที่ ก.1 ผลการวิเคราะห์องค์ประกอบทางเคมีของอะลูมิเนียมผสม เอช 2 เอ

ธาตุ (Element)	ร้อยละโดยน้ำหนัก (Percent by Weight)
ซิลิคอน (Si)	4.74496
ทองแดง (Cu)	3.34000
เหล็ก (Fe)	0.45188
แมกนีเซียม (Mg)	0.21086
สังกะสี (Zn)	0.18444
แมงกานีส (Mn)	0.18189
ไททาเนียม (Ti)	0.11542
ฟอสฟอรัส (P)	0.06379
ตะกั่ว (Pb)	0.02425
โครเมียม (Cr)	0.01545
พลวง (Sb)	0.01311
แคลเซียม (Ca)	0.01302
วานเดียม (V)	0.01060
ตีบุก (Sn)	0.00840
โซเดียม (Na)	0.00342
เซอร์โคเนียม (Zr)	0.00286
แคดเมียม (Cd)	0.00026
เบริลเลียม (Be)	0.00020
โคบอลต์ (Co)	0.00002
อะลูมิเนียม (Al)	Balance

ตารางที่ ก.2 ผลการวิเคราะห์องค์ประกอบทางเคมีของเหล็กกล้าคาร์บอนตัว

ธาตุ (Element)	ร้อยละโดยน้ำหนัก (Percent by Weight)
แมงกานีส (Mn)	1.08764
ทองแดง (Cu)	0.30111
ซิลิคอน (Si)	0.24495
คาร์บอน (C)	0.20136
โครเมียม (Cr)	0.12979
nickel (Ni)	0.11873
ราเนเดียม (V)	0.03240
อะลูมิเนียม (Al)	0.02934
โคบอลต์ (Co)	0.02357
ไททาเนียม (Ti)	0.01905
โมลีบดีนัม (Mo)	0.01533
สารอนุ (As)	0.01424
ฟอสฟอรัส (P)	0.01196
กำมะถัน (S)	0.00752
ทังสเตน (W)	0.00511
แทนทาลัม (Ta)	0.00501
พลวง (Sb)	0.00412
แคลเซียม (Ca)	0.00344
ตะกั่ว (Pb)	0.00215
สังกะสี (Zn)	0.00151
ไนโอลีบียม (Nb)	0.00058
เซอร์โคเมียม (Zr)	0.00054
ไบรอน (B)	0.00017
เหล็ก (Fe)	Balance

ตารางที่ ก.3 องค์ประกอบทางเคมีของ EN AC-45100 AlSi5Cu3Mg

ธาตุ (Element)	ร้อยละโดยน้ำหนัก (Percent by Weight)	ช่วงแนะนำ (Recommended Rang)
ซิลิคอน (Si)	5	0-17.5
ทองแดง (Cu)	3	0-5.5
สังกะสี (Zn)	0.5	0-8.1
nickel (Ni)	0.3	0-0.5
ไทเทเนียม (Ti)	0.25	0-0.5
แมกนีเซียม (Mg)	0.1	0-7.6
แก朵เลนี่ยม (Gd)	-	0-0.5
เจอร์เมเนี่ยม (Ge)	-	0-0.5
ไฮฟเนี่ยม (Hf)	-	0-0.5
ลิเทียม (Li)	-	0-0.5
เหล็ก (Fe)	-	0-1.0
แมงกานีส (Mn)	-	0-1.2
โครเมียม (Cr)	-	0-0.5
เชลีเนี่ยม (Se)	-	0-0.5
เงิน (Ag)	-	0-0.5
ดีบุก (Sn)	-	0-0.5
สตรอนเซียม (Sr)	-	0-0.5
ไบรอน (B)	-	0-0.5
วานเดียม (V)	-	0-0.5
อิตเทเรียม (Y)	-	0-0.5
คาร์บอน (C)	-	0-0.5
เซอร์โคเนี่ยม (Zr)	-	0-0.5

ตารางที่ ก.4 องค์ประกอบทางเคมีของ Low Carbon AISI 1008

ธาตุ (Element)	ร้อยละโดยน้ำหนัก (Percent by Weight)	ปัจจุบัน (Recommended Rang)
โครเมียม (Cr)	0.45	0-27
แมงกานีส (Mn)	0.31	0-4.5
ซิลิคอน (Si)	0.08	0-5.5
คาร์บอน (C)	0.08	0-4
กำมะถัน (S)	0.05	0-0.05
ฟอสฟอรัส (P)	0.03	0-0.05
อะลูมิเนียม (Al)	-	0-0.5
ทองแดง (Cu)	-	0-7.5
แมgnีเซียม (Mg)	-	0-0.5
สารหมู่ (As)	-	0-5
โมลิบดีนัม (Mo)	-	0-10
ไนโตรเจน (N)	-	0-0.5
ไนโวเบียม (Nb)	-	0-4
นิกเกิล (Ni)	-	0-36
โคบอลต์ (Co)	-	0-10
ตะกั่ว (Pb)	-	0-5
แคลเซียม (Ca)	-	0-5
บอรอน (B)	-	0-4
ตีบุก (Sn)	-	0-0.05
ไทเทเนียม (Ti)	-	0-4
วานเดียม (V)	-	0-7
หั่งสเตน (W)	-	0-7
เซอร์โคเนียม (Zr)	-	0-0.05

ภาคผนวก ข

ค่าสัมประสิทธิ์การนำความร้อนของอะลูมิเนียมผสม เอชี 2 เอ และเหล็กกล้า
คาร์บอนต่ำ โดยเครื่องวิเคราะห์การเปลี่ยนแปลงทางความร้อน (Thermal
Conductivity Analysis ; TCA)

ตารางที่ ข.1 ผลการวิเคราะห์การเปลี่ยนแปลงทางความร้อนของอะลูมิเนียม ผสมเอชี 2 เอ

ทดสอบครั้งที่	ค่าสัมประสิทธิ์การนำความร้อน (Thermal Conductivity, W/m•K)
1	240.10
2	239.20
3	237.40
4	233.70
5	227.60
6	225.70
เฉลี่ย	233.95

ตารางที่ ข.2 ผลการวิเคราะห์หากการเปลี่ยนแปลงทางความร้อนของเหล็กกล้าคาร์บอนต่อ

ทดสอบครั้งที่	ค่าสัมประสิทธิ์การนำความร้อน (Thermal Conductivity, W/m•K)
1	42.41
2	42.40
3	42.38
4	42.37
5	42.36
6	42.34
7	42.19
8	42.02
9	41.82
เฉลี่ย	42.25

ภาคนวัตฯ

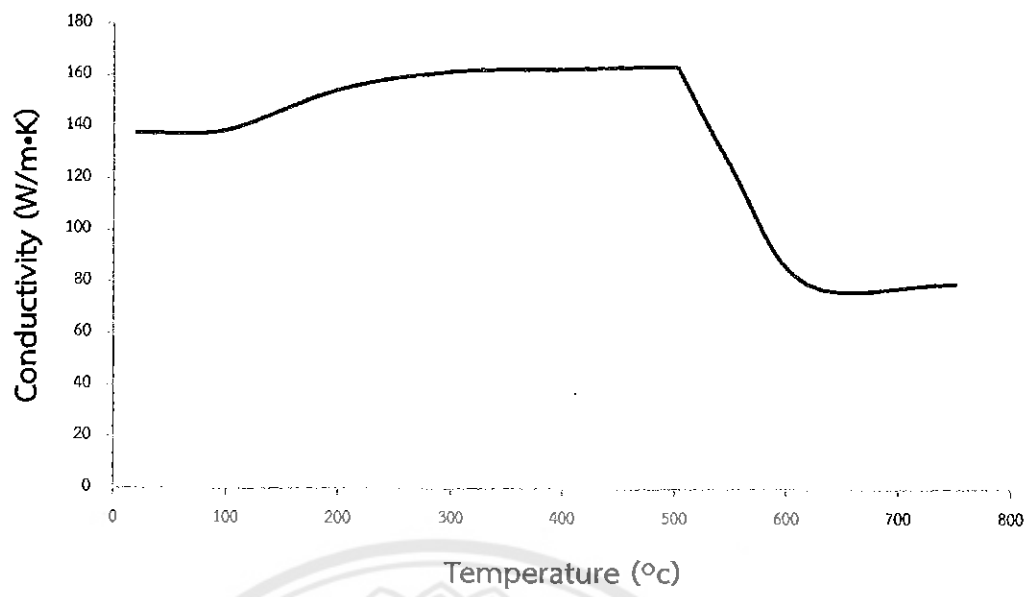
G-code สำหรับสร้างแม่พิมพ์โดยเครื่องกัดซีเอ็นซี (CNC Milling Machine)

ตารางที่ ค.1 G-code สำหรับสร้างแม่พิมพ์แบบสpiral (Spiral Mold)

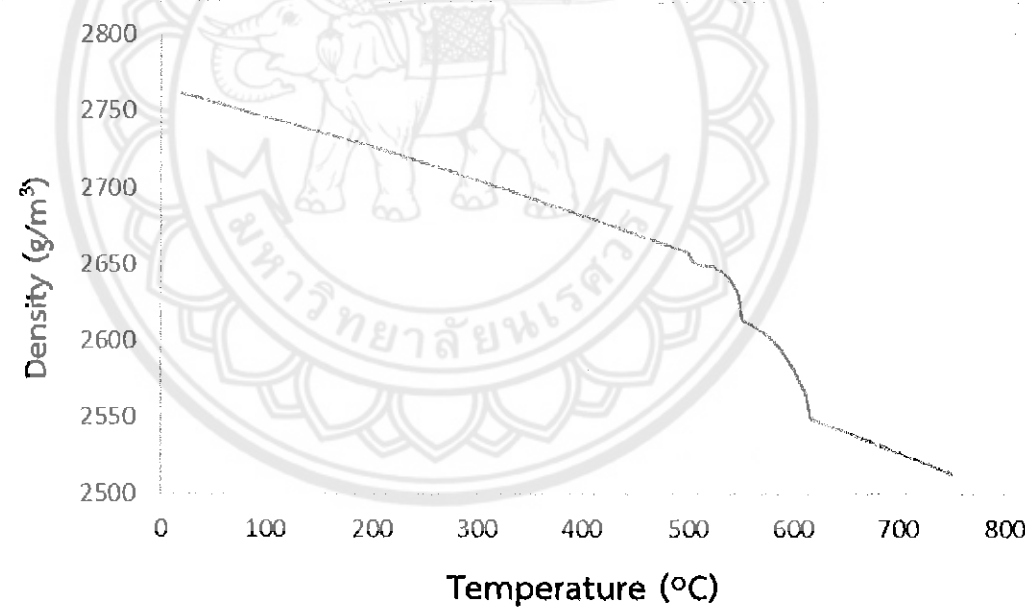
004496 ;	
N1	T6 ;
N2	M03 S1000 ;
N3	G90 G17 G54 ;
N4	G00 X90. Y30. Z10. ;
N5	G01 X100. Y40. Z0. F90. ;
N6	X120. Y40. Z-6. ;
N7	G03 X120. Y248.3 R104.2 ;
N8	G03 X120. Y63.4 R92.5 ;
N9	G03 X120. Y225. R80.8 ;
N10	X120. Y86.7 R69.2 ;
N11	X120. Y201.7 R57.5 ;
N12	X120. Y110. R45.9 ;
N13	G00 Z100. M05 ;
N14	M30 ;



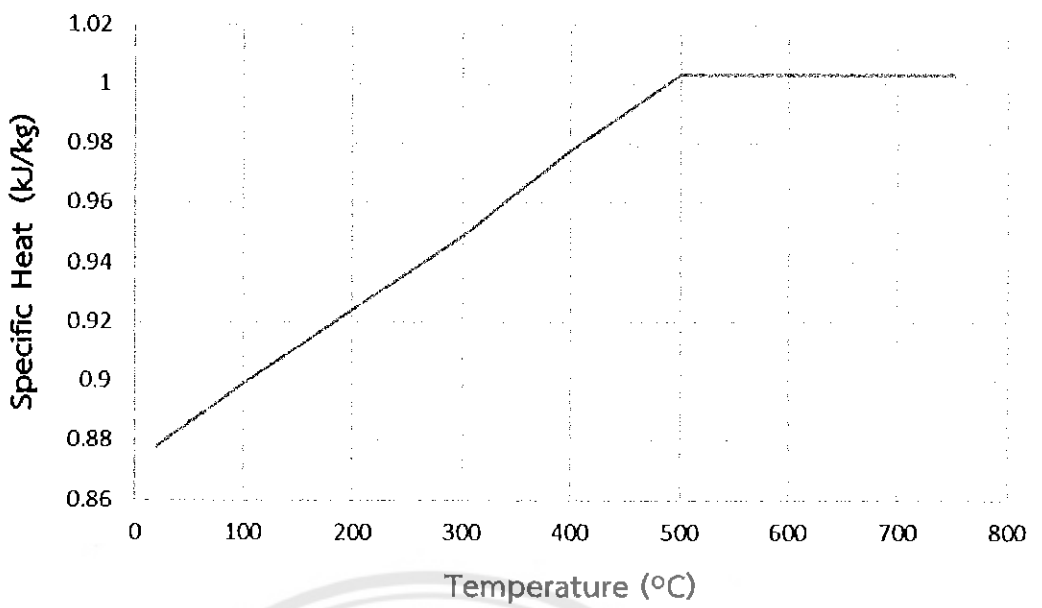
ภาควิชานวัตกรรม
ข้อมูลที่ใช้ในโปรแกรมช่วยในการจำลอง (ProCAST 2015)



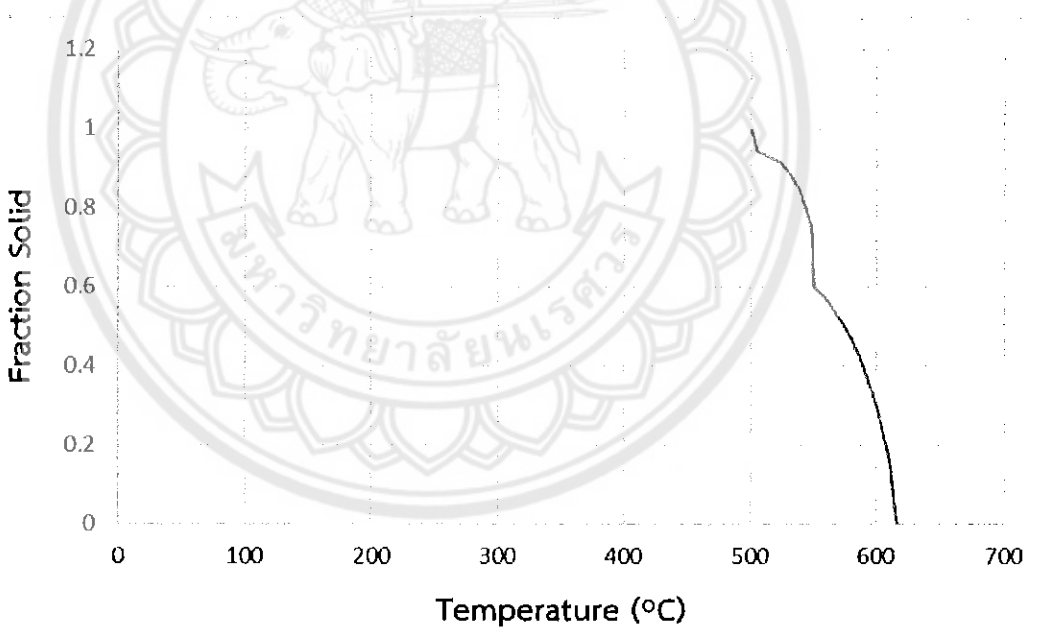
รูปที่ ๔.๑ ค่า Conductivity ของอลูมิเนียม EN AC-45100 AlSi5Cu3Mg



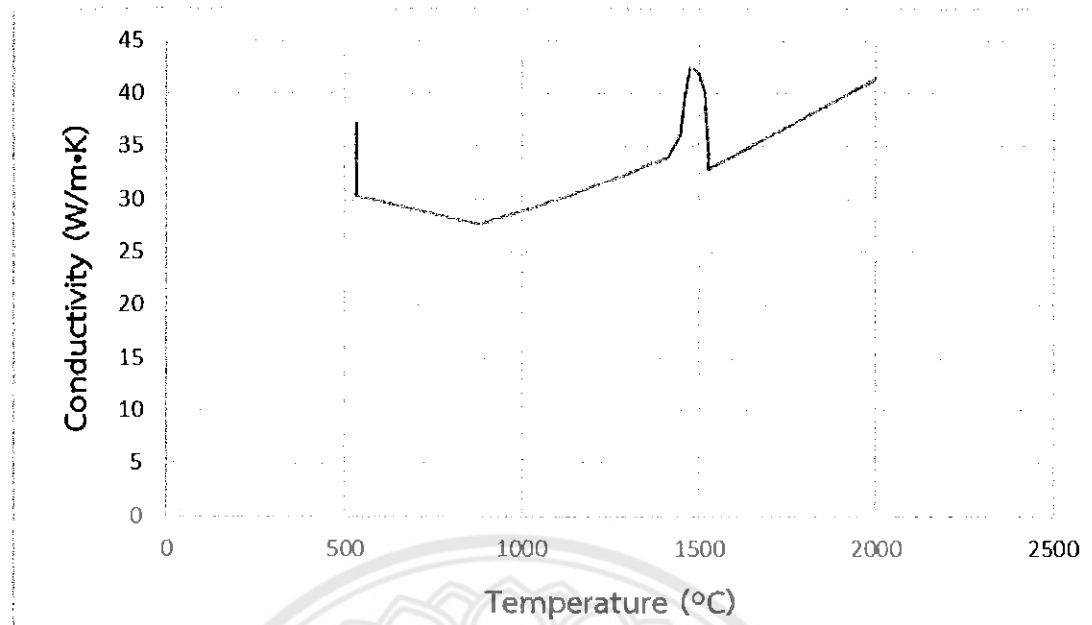
รูปที่ ๔.๒ ค่า Density ของอลูมิเนียม EN AC-45100 AlSi5Cu3Mg



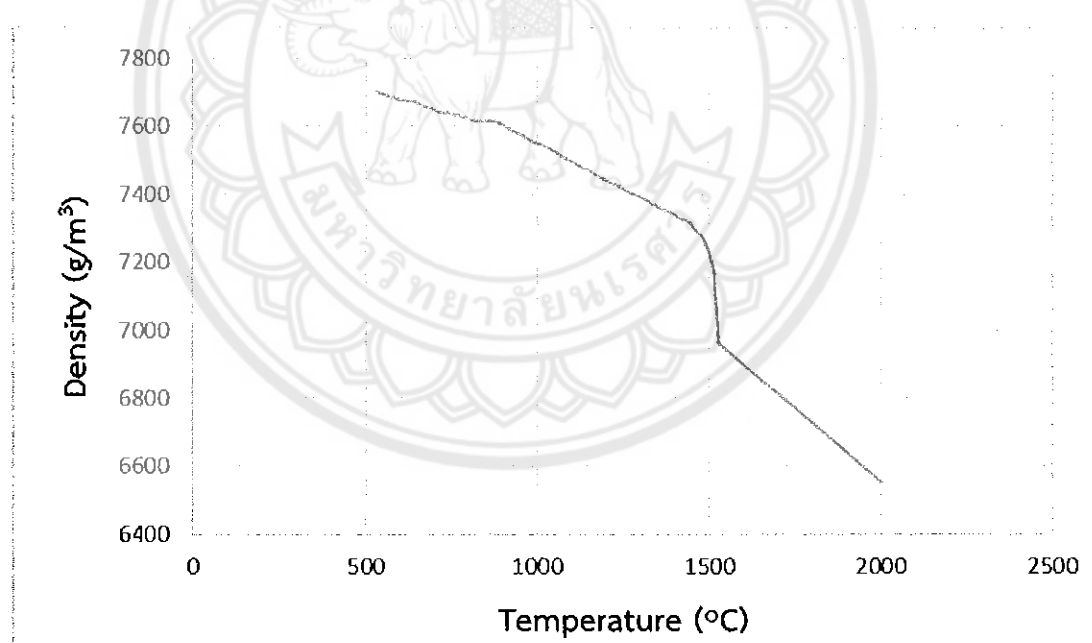
รูปที่ ๔.๓ ค่า Specific Heat ของอลูมิเนียม EN AC-45100 AlSi5Cu3Mg



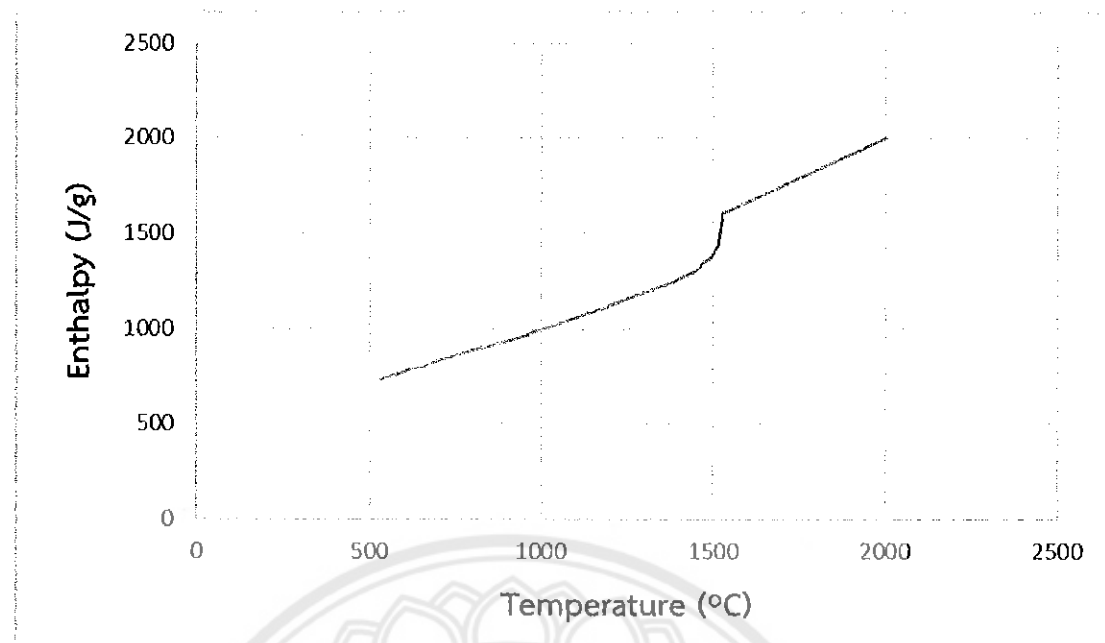
รูปที่ ๔.๔ ค่า Fraction Solid ของอลูมิเนียม EN AC-45100 AlSi5Cu3Mg



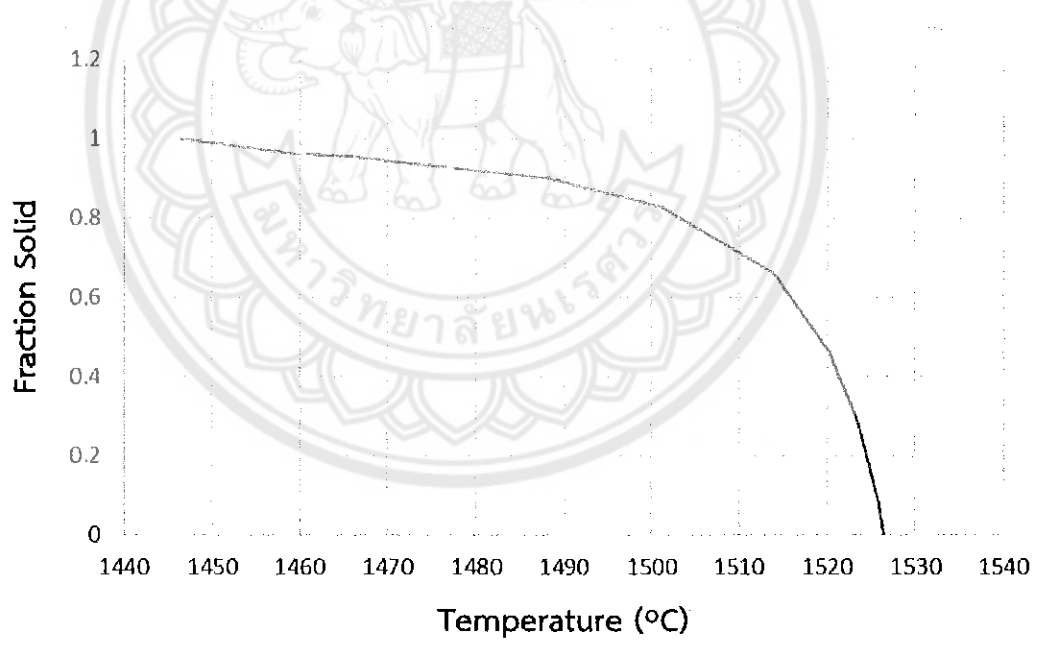
รูปที่ ๔.๕ ค่า Conductivity ของเหล็กกล้าคาร์บอนต่ำ Low-Carbon AISI 1008



รูปที่ ๔.๖ ค่า Density ของเหล็กกล้าคาร์บอนต่ำ Low-Carbon AISI 1008



รูปที่ 4.7 ค่า Enthalpy ของเหล็กกล้าคาร์บอนต่ำ Low-Carbon AISI 1008



รูปที่ 4.8 ค่า Fraction Solid ของเหล็กกล้าคาร์บอนต่ำ Low-Carbon AISI 1008

ประวัติผู้ดำเนินโครงการ



ชื่อ นางสาวบรรเจิดลักษณ์ แย้มนิยม
ภูมิลำเนา 91 หมู่ 3 ต.สะเตียง อ.เมือง จ.เพชรบูรณ์
ประวัติการศึกษา

- จบระดับมัธยมศึกษาโรงเรียนเพชรพิทยาคม
จ.เพชรบูรณ์
- ปัจจุบันกำลังศึกษาในระดับปริญญาตรีชั้นปีที่ 4
สาขาวิชากรรมมวัสดุ

คณะวิศวกรรมศาสตร์ มหาวิทยาลัยนเรศวร

E-mail: BunjertlarkYeam@hotmail.com



ชื่อ นางสาวปาริชัตร ป้อมไย
ภูมิลำเนา 4/5 หมู่ 11 ต.บ้านมะเกลือ อ.เมือง
จ.นครสวรรค์
ประวัติการศึกษา

- จบระดับมัธยมศึกษาโรงเรียนนวมินทราษฎีศึกษา^{น้ำตก}
น้ำตก จ.นครสวรรค์
- ปัจจุบันกำลังศึกษาในระดับปริญญาตรีชั้นปีที่ 4
สาขาวิชากรรมมวัสดุ

คณะวิศวกรรมศาสตร์ มหาวิทยาลัยนเรศวร

E-mail: may-parichat2537@hotmail.com